

Third virial coefficient of the unitary Bose gas

Yvan Castin¹ and Félix Werner¹

¹*Laboratoire Kastler Brossel, École Normale Supérieure,
CNRS and UPMC, 24 rue Lhomond, 75231 Paris, France*

By unitary Bose gas we mean a system composed of spinless bosons with *s*-wave interaction of infinite scattering length and almost negligible (real or effective) range. Experiments are currently trying to realize it with cold atoms. From the analytic solution of the three-body problem in a harmonic potential, and using methods previously developed for fermions, we determine the third cumulant (or cluster integral) b_3 and the third virial coefficient a_3 of this gas, in the spatially homogeneous case, as a function of its temperature and the three-body parameter R_t characterizing the Efimov effect. A key point is that, converting series into integrals (by an inverse residue method), and using an unexpected small parameter (the three-boson mass angle $\nu = \pi/6$), one can push the full analytical estimate of b_3 and a_3 up to an error that is in practice negligible.

PACS numbers: 67.85.-d

I. INTRODUCTION

The field of quantum gases has been exploring, in the last decade, the strongly interacting regime, thanks to the possibility of tuning the *s*-wave scattering length a to arbitrarily large values (in absolute value) with the Feshbach resonance technique [1, 2]. This opens up the perspective of studying a fascinating object, the unitary gas, such that the interactions among particles have an infinite *s*-wave scattering length and a negligible range. The two-body scattering amplitude then reaches the maximal modulus allowed by unitarity of the S matrix, and the gas is maximally interacting.

For the spin-1/2 Fermi gases, the experimental realisation and characterisation of the strongly interacting regime have been fully successful [3, 4], recently culminating with the measurement of the equation of state of the unitary gas, both at high and low temperature T [5–7]. In the unpolarized case, this has allowed a precise comparison with the theoretical predictions, that are pushed to their limits. At zero temperature, in practice $T/T_F \ll 1$ where T_F is the Fermi temperature, the measurements have confirmed the precision of the most recent variational fixed-node calculations, as far as the universal number $\xi = \mu/(k_B T_F)$ is concerned, μ being the chemical potential of the gas [8]. For the superfluid phase transition, the experiments confirm the expected universality class and find a value of the critical temperature T_c that slightly corrects the result of the first Quantum Monte Carlo calculations [9] and that confirms the one of most recent Quantum Monte Carlo calculations [10]. Above T_c , the measurements at MIT are in remarkable agreement with the diagrammatic Monte Carlo method [11]. Finally, in the non-degenerate regime $T > T_F$, the experiments at ENS have been able to confirm the value of the third virial coefficient a_3 of the spatially homogeneous gas, already theoretically deduced [13] from the analytical solution of the three-body problem in a harmonic trap [14] and reproduced later on by a diagrammatic method [15]; these experiments are even ahead of theory in getting the value of a_4 , not yet extracted by theory in a

reliable way from the four-body problem [16].

For the strongly interacting gases of spinless bosons, the experimental studies are less advanced, due to the Efimov effect [17]: The effective three-body attraction predicted by Efimov, and leading to his famous weakly bound trimers, for which there is now an experimental signature [18], leads to a strong increase of atomic losses in the gas, due to three-body collisions with strongly exothermic formation of deeply bound dimers. In the unitary limit, one can at the moment prepare a stable and thermal equilibrium Bose gas only in the non-degenerate regime $\rho\lambda^3 \ll 1$ [19], where ρ is the gas density and $\lambda = (2\pi\hbar^2/mk_B T)^{1/2}$ is the thermal de Broglie wavelength: The two-body elastic collision rate, scaling as $\frac{\hbar}{m}\rho\lambda$, then overcomes the three-body loss rate scaling as $\frac{\hbar}{m}\rho\lambda^4$ [20][51]. Fortunately, there exists a few ideas to explore to reduce losses, such as taking advantage of the loss-induced Zeno effect in an optical lattice [22], or simply the use of narrow Feshbach resonances [23, 24].

On a theoretical point of view, the study of the unitary Bose gas is just starting. Most of the works do not take into account in an exact way the three-or-more-body correlations [25–27]; they cannot thus quantitatively account for the fact that resonant interactions among bosons involve the three-body parameter R_t , a length giving the global energy scale in the Efimov trimer spectrum (no energy scale can be given by the scattering length here, since it is infinite). As a consequence, the various phases under which the unitary Bose system may exist at thermal equilibrium, as functions of temperature, remain to be explored. At zero temperature, inclusion of a hard-core three-body interaction, allowing one to adjust the value of R_t and to avoid the system collapse, has allowed one to show, with numerical calculations limited to about ten particles, that the bosons form a N -body bound state, with an energy that seems to vary linearly with N [28], which suggests a phase of bounded density at large N , for example a liquid. At high temperature (more precisely at low density $\rho\lambda^3 \rightarrow 0$), the natural theoretical approach is the virial expansion [29], that we

recall here for the spatially homogeneous gas [30]:

$$\frac{P\lambda^3}{k_B T} = \sum_{n \geq 1} a_n (\rho\lambda^3)^n \quad (1)$$

where P is the gas pressure. The coefficient a_n is precisely the n^{th} virial coefficient. In practice, it will be more convenient to determine the coefficients b_n of the expansion of the grand potential Ω in powers of the fugacity $z = e^{\beta\mu}$, with the chemical potential μ tending to $-\infty$:

$$\Omega = -\frac{V}{\lambda^3} k_B T \sum_{n \geq 1} b_n z^n, \quad (2)$$

with V the system volume and $\beta = 1/(k_B T)$. The coefficients b_n are called cluster integrals in reference [30]. Since $-\beta\Omega$ is the logarithm of the grand canonical partition function, it is natural to call b_n the n^{th} cumulant, as we shall do in this paper. The knowledge of all cumulants up to order n included allows one to determine all the virial coefficients up to the same order. Note that $a_1 = b_1 = 1$ by construction; the higher order expressions that are useful here are deduced in a simple way from the thermodynamic equalities $\Omega = -PV$ and $N = -\partial_\mu \Omega$ [30]:

$$a_2 = -b_2 \quad \text{and} \quad a_3 = 4b_2^2 - 2b_3. \quad (3)$$

Contrarily to the fermionic case, the cumulant b_3 and the virial coefficient a_3 of the bosons in the unitary limit are not pure numbers, they rather are not yet explicitly determined functions of the three-body parameter. After the pioneering works [31], there exist for sure formal expressions of b_3 in the general quantum case involving Faddeev equations [32], the S -matrix [33], Mayer diagrams [34], an Ursell operator [30, 35]. The most operational form seems to be the one of [32] written in terms of a three-body scattering amplitude [36], but its evaluation for the unitary Bose gas is, to our knowledge, purely numerical, and for three different values of R_t only [36]. Here, we show on the contrary that b_3 can be obtained analytically, from the solution of the harmonically trapped three-boson problem [12, 14].

In the first stage of the solution, one considers the system at thermal equilibrium in the harmonic potential $U(\mathbf{r}) = \frac{1}{2}m\omega^2 r^2$, ω being the free oscillation angular frequency, and one expresses the third cumulant $B_3(\omega)$ of the trapped gas, defined by the expansion (5) to come, in terms of the partition functions of n -body problems in the trap, $1 \leq n \leq 3$. In theoretical physics, a formal “harmonic regularisator” was already introduced to obtain the second [37] and third [38, 39] virial coefficients of a gas of anyons. The same technique was then used in the case of cold fermionic atoms [13], to take advantage of the fact that the three-body problem is solvable in the unitary limit; note that it is then not a pure calculation trick anymore since the trapping can be realised experimentally.

In the second stage, one takes the limit of a vanishing trap spring constant. As shown by the local density approximation [13], which is actually exact in that limit, the cumulants b_n of the homogeneous gas are then given by [13, 37]

$$\frac{b_n}{n^{3/2}} = \lim_{\omega \rightarrow 0} B_3(\omega) \equiv B_3(0^+). \quad (4)$$

In [13], this limit is evaluated purely numerically for the fermions. We shall insist here on showing that one can actually go much farther analytically.

II. EXPRESSION OF ΔB_3 IN TERMS OF CANONICAL PARTITION FUNCTIONS

When the chemical potential $\mu \rightarrow -\infty$ at fixed temperature, which corresponds to a low density limit, the grand potential of the trapped unitary Bose gas can be expanded as

$$\Omega = -k_B T Z_1 \sum_{n \geq 1} B_n z^n \quad (5)$$

where Z_N is the canonical partition function with N particles, $z = \exp(\beta\mu)$ is the fugacity, and $B_n(\omega)$ is the n^{th} cumulant of the trapped gas. By construction, $B_1(\omega) \equiv 1$. One also has, by definition, $\Omega = -k_B T \ln(1 + \sum_{N \geq 1} Z_N z^N)$. By order-by-order identification in z , as for example in [13], one finds

$$B_2 = \frac{Z_2}{Z_1} - \frac{1}{2} Z_1 \quad \text{and} \quad B_3 = \frac{Z_3}{Z_1} - Z_2 + \frac{1}{3} Z_1^2. \quad (6)$$

In reality, one shall calculate the deviation from the ideal gas,

$$\Delta B_n = B_n - B_n^{(0)} \quad (7)$$

where $B_n^{(0)}(\omega)$ is the n^{th} cumulant of the trapped ideal gas. Similarly one introduces $\Delta Z_N = Z_N - Z_N^{(0)}$, noting that $\Delta Z_1 = 0$. As there is furthermore separability of the center of mass in a harmonic trap, both for the ideal gas and for the unitary gas, and as the spectrum of the center of mass is the same as the one of the one-body problem, one is left with partition functions of the n -body relative motion, denoted by “rel”:

$$\Delta B_2 = \frac{\Delta Z_2}{Z_1} = \Delta Z_2^{\text{rel}} \quad (8)$$

$$\Delta B_3 = \frac{\Delta Z_3}{Z_1} - \Delta Z_2 = \Delta Z_3^{\text{rel}} - \Delta Z_2. \quad (9)$$

It remains to use the expressions for the relative motion spectrum, known in the unitary limit up to $n = 3$ [12, 14].

A. Case $N = 2$

The interactions modify the spectrum of the relative motion only in the sector of angular momentum $l = 0$, and in the unitary limit, their effect reduces to a downward shift by $\hbar\omega$ of the unperturbed spectrum, $E_{l=0,n}^{(0)} = (2n + 3/2)\hbar\omega$ [40], so one finds

$$\Delta Z_2^{\text{rel}} = (e^x - 1) \sum_{n \geq 0} e^{-x(2n+3/2)} = \frac{e^{-x/2}}{1 + e^{-x}} = \Delta B_2 \quad (10)$$

where $x = \beta\hbar\omega$. As a consequence, using equation (8) and $Z_1 = [e^{-x/2}/(1 - e^{-x})]^3$:

$$\Delta Z_2 = \frac{e^{-2x}}{(1 - e^{-x})^2(1 - e^{-2x})}. \quad (11)$$

Another consequence is that the second cumulant of the spatially homogeneous unitary Bose gas is obtained from the expression $B_2^{(0)}(\omega) = \frac{1}{2}(\frac{1}{2\text{ch}(x/2)})^3$ (deduced by a direct calculation) by taking the $\omega \rightarrow 0$ limit and using (4):

$$\frac{b_2}{2^{3/2}} = \frac{1}{2} + \frac{1}{2^4}. \quad (12)$$

B. Case $N = 3$

As shown in [14], the problem of three trapped bosons has a particular class of eigenstates, called Laughlinian in what follows, with a wavefunction that vanishes when there is at least two particles in the same point. These eigenstates thus have energies that are independent of the scattering length a and they do not contribute to ΔZ_3 . It therefore remains to sum over the non-Laughlinian eigenstates for the non-interacting case ($a = 0$) and for the unitary limit ($1/a = 0$).

In the case $a = 0$, using as in [13] the Efimov ansatz for the three-body wavefunction [52] one finds that the non-Laughlinian eigenenergies of the relative motion are

$$E_{\text{rel}}^{(0)} = (u_{l,n}^{(0)} + 1 + 2q)\hbar\omega \quad \text{of degeneracy } 2l + 1, \quad (13)$$

where l, n, q span the set of natural integers, with l quantifying the angular momentum and q the excitation of the hyperradial mode [41]. The $u^{(0)} \geq 0$ are the roots of the function $s \mapsto 1/\Gamma(\frac{l-s}{2} + 1)$:

$$u_{l,n}^{(0)} = l + 2 + 2n. \quad (14)$$

In reality, one must keep in the spectrum (13) the physical roots only, such that the Efimov ansatz is not identically zero. The two known unphysical roots are $u^{(0)} = 4$ for $l = 0$, and $u^{(0)} = 3$ for $l = 1$. But this will not play any role in what follows.

In the case $1/a = 0$, using the Efimov ansatz as in [14], subjected to the Wigner-Bethe-Peierls contact conditions, one gets the transcendental equation $\Lambda_l(s) = 0$, with [42]

$$\begin{aligned} \Lambda_l(s) &= \cos \nu - (-\sin \nu)^l \frac{\Gamma(\frac{l+1+s}{2}) \Gamma(\frac{l+1-s}{2})}{\pi^{1/2} \Gamma(l + \frac{3}{2})} \\ &\times {}_2F_1\left(\frac{l+1+s}{2}, \frac{l+1-s}{2}, l + \frac{3}{2}; \sin^2 \nu\right) \end{aligned} \quad (15)$$

where ${}_2F_1$ is the Gauss hypergeometric function and the usual mass angle what introduced, which is given for three bosons by

$$\nu = \arcsin \frac{1}{2} = \frac{\pi}{6}. \quad (16)$$

In practice, we shall also use the representation derived in [43] for fermions and easily transposed to the bosonic case, in terms of Legendre polynomials $P_l(X)$:

$$\Lambda_l(s) \stackrel{l \text{ even}}{=} \cos \nu - \frac{2}{\sin \nu} \int_0^\nu d\theta P_l\left(\frac{\sin \theta}{\sin \nu}\right) \frac{\cos(s\theta)}{\cos(s\pi/2)} \quad (17)$$

$$\Lambda_l(s) \stackrel{l \text{ odd}}{=} \cos \nu + \frac{2}{\sin \nu} \int_0^\nu d\theta P_l\left(\frac{\sin \theta}{\sin \nu}\right) \frac{\sin(s\theta)}{\sin(s\pi/2)}, \quad (18)$$

which allows us to explicitly write $\Lambda_l(s)$ with the sine function and rational fractions of s .

C. Efimovian channel

In the zero-angular-momentum sector, $l = 0$, $\Lambda_l(s)$ has one and only one root $u_{0,0} \in i\mathbb{R}^+$ [14], usually noted as

$$u_{0,0} = s_0 = i|s_0|, \quad |s_0| = 1,006\,237\,825 \dots \quad (19)$$

This root gives rise to the Efimov channel, where the eigenenergies $\epsilon_q(\omega)$ of the relative motion solve a transcendental equation [12, 14] that one can rewrite as in [21] to make explicit and univocal the dependence with the quantum number $q \in \mathbb{N}$:

$$\text{Im} \ln \Gamma\left(\frac{1 + s_0 - \epsilon_q/(\hbar\omega)}{2}\right) + \frac{|s_0|}{2} \ln\left(\frac{2\hbar\omega}{E_t}\right) + q\pi = 0, \quad (20)$$

the function $\ln \Gamma(z)$ being taken with its standard determination (branch cut in \mathbb{R}^-). In the limit $\omega \rightarrow 0$ for a fixed q , this reproduces the geometric sequence of Efimov trimers:

$$\epsilon_q(\omega) \rightarrow \epsilon_q(0^+) = -e^{-2\pi q/|s_0|} E_t, \quad (21)$$

which shows that $E_t = 2 \exp[\frac{2}{|s_0|} \text{Im} \ln \Gamma(1 + s_0)] \hbar^2 / (m R_t^2)$, R_t being the three-body parameter according to the convention of [14]. In a strict zero-range limit, q would span \mathbb{Z} and the spectrum would be unbounded below, which would prevent thermal equilibrium of the system. As noted by Efimov [17],

however, in any given interaction model of finite range b , including experimental reality, the geometric form (21) of the spectrum only applies to the trimers of binding energy much smaller than $\hbar^2/(mb^2)$, possible more deeply bound trimers being out of the unitary limit and non universal. Here, the quantum number $q = 0$ thus simply corresponds to the first state having (almost) reached the unitary limit. For an interaction to allow for the realisation of the unitary Bose gas at thermal equilibrium, $q = 0$ must correspond to the true ground trimer, and this is indeed the case for the model of [28] and for the narrow Feshbach resonance [44–47]: in both situations, E_t is indeed of the order of $e^{-2\pi/|s_0|}\hbar^2/(mb^2) \ll \hbar^2/(mb^2)$ and the trimer spectrum can be considered as being entirely efimovian, as it is assumed in the present work.

D. Universal channels

The real positive roots $(u_{0,n})_{n \geq 1}$ of $\Lambda_0(s)$, and the roots $(u_{l,n})_{n \geq 0}$ of $\Lambda_l(s)$ for $l > 0$, which are all real [14] and taken in what follows to be positive, give rise to universal, that is non-efimovian, states, with eigenenergies of the relative motion that are independent of R_t :

$$E_{\text{rel}} = (u_{l,n} + 1 + 2q)\hbar\omega \quad \text{of degeneracy } 2l + 1, \quad (22)$$

where (l, n) spans \mathbb{N}^{2*} , and q spans \mathbb{N} , and the star indicates that the vanishing element [here $(0, 0)$] has to be excluded. One can note the similitude with the non-interacting case (13), the quantum number q having the same physical origin [14]. As in the non-interacting case, one must eliminate from the spectrum (22) the unphysical roots u , that give a vanishing Efimov ansatz. These unphysical roots, however, are exactly the same ones in both cases [53], which allows us formally to include them in the partition functions Z_3 et $Z_3^{(0)}$, since their (unphysical) contributions exactly compensate in ΔZ_3 . Collecting the contributions of the systems with and without interaction of common quantum numbers, we finally obtain:

$$\begin{aligned} \Delta Z_3^{\text{rel}} &= \sum_{q \geq 0} \left[e^{-\beta\epsilon_q(\omega)} - e^{-x(u_{0,0}^{(0)} + 1 + 2q)} \right] \\ &+ \sum_{(l,n) \in \mathbb{N}^{2*}} \sum_{q \geq 0} (2l+1) \left[e^{-x(u_{l,n} + 1 + 2q)} - e^{-x(u_{l,n}^{(0)} + 1 + 2q)} \right]. \end{aligned} \quad (23)$$

E. Some useful transforms

In order to treat one by one the problems that arise in taking the limit $\omega \rightarrow 0$, it is useful to split (23) as the sum of a purely efimovian contribution $S(\omega)$ and of a purely universal contribution $\sigma(\omega)$, up to additive remainders $R(\omega)$ and $\rho(\omega)$. In what follows we shall study

the efimovian series

$$S(\omega) \equiv \sum_{q \geq 0} \left[e^{-\beta\epsilon_q(\omega)} - e^{-2qx} \right], \quad (24)$$

that reproduces the first sum in (23) up to the remainder

$$R(\omega) = \sum_{q \geq 0} \left[e^{-2qx} - e^{-x(u_{0,0}^{(0)} + 1 + 2q)} \right] = \frac{1 - e^{-3x}}{1 - e^{-2x}}. \quad (25)$$

We shall see that it is a doubly clever idea to introduce the universal series

$$\sigma(\omega) = \sum_{(l,n) \in \mathbb{N}^{2*}} \sum_{q \geq 0} (2l+1) \left[e^{-x(u_{l,n} + 1 + 2q)} - e^{-x(v_{l,n} + 1 + 2q)} \right], \quad (26)$$

with

$$v_{l,n} = l + 1 + 2n. \quad (27)$$

First, this provides a numerical advantage [13], since $v_{l,n}$ is the large- l -or- n equivalent of $u_{l,n}$ introduced in equation (17) of reference [14][54], so that the series σ rapidly converges. Second, as it is apparent in the form (15), the $(v_{l,n})_{n \geq 0}$ are the positive poles of the function $\Lambda_l(s)$; the writing (26) is thus reminiscent of the residue theorem, and we shall soon take advantage of this fact. As $v_{l,n} = u_{l,n}^{(0)} - 1$, σ reproduces the second sum of (23) up to the remainder

$$\rho(\omega) = \sum_{(l,n) \in \mathbb{N}^{2*}} \sum_{q \geq 0} (2l+1) \left[e^{-x(v_{l,n} + 1 + 2q)} - e^{-x(u_{l,n}^{(0)} + 1 + 2q)} \right]. \quad (28)$$

With the generating function method, one gets $\sum_{l \geq 0} (2l+1)e^{-lx} = (1 - 2\frac{d}{dx})\frac{1}{1-e^{-x}} = (1 + e^{-x})/(1 - e^{-x})^2$. This, together with the identities (11) and (25), leads to $\rho(\omega) = \Delta Z_2 + 1 - R(\omega)$, and (9) reduces to the simple writing

$$\Delta B_3(\omega) = S(\omega) + \sigma(\omega) + 1. \quad (29)$$

This equation (29) is the bosonic equivalent of the fermionic expressions (56,58) of reference [13], from which it differs mainly through the contribution $S(\omega)$ of the efimovian channel.

III. ANALYTICAL TRANSFORMS AND $\omega \rightarrow 0$ LIMIT

The most relevant physical quantity being the third cumulant of the spatially homogeneous gas, we must now, according to (4), take the limit of a vanishing trap spring constant. An explicit calculation for the trapped ideal gas gives

$$B_3^{(0)}(\omega) = \frac{1}{3} \left(\frac{e^{-x}(1 - e^{-x})}{1 - e^{-3x}} \right)^3 \xrightarrow[\omega \rightarrow 0]{} \frac{1}{3^4}. \quad (30)$$

In the unitary case, the method of reference [21] allows one to determine $S(0^+)$ exactly; furthermore, as we shall

see, the sum over n in equation (26) and the $x \rightarrow 0$ limit can be performed analytically, and the resulting integrals in $\sigma(0^+)$, that are very simple to evaluate numerically, can also be usefully evaluated by taking the mass angle ν as a small parameter.

A. Working on the efimovian contribution $S(\omega)$

For an arbitrary positive number A , with $A \gg 1$, we split as in [21] the series (26) into three pieces, $S = S_1 + S_2 + S_3$.

In the first (quasi-bound) piece, that contains the states such that $\epsilon_q(\omega) < -A\hbar\omega$, the three bosons occupy a spatial zone much smaller than the ground-state harmonic oscillator length $[\hbar/(m\omega)]^{1/2}$, so that the spectrum is close to the free-space spectrum (21):

$$\epsilon_q(\omega) = \epsilon_q(0^+) \left[1 - \frac{1 + |s_0|^2}{6} \left(\frac{\hbar\omega}{\epsilon_q(0^+)} \right)^2 + \dots \right] \quad (31)$$

As $\epsilon_q(0^+)$ is a geometric sequence, approximating $\epsilon_q(\omega)$ with $\epsilon_q(0^+)$ in S_1 induces an error of the order of the error on the last term, that vanishes as x/A . From the same geometric property, the maximal index q_1 in that first piece diverges only logarithmically, as $\frac{|s_0|}{2\pi} \ln[E_t/(2\hbar\omega)]$, which allows one to replace each term e^{-2qx} by 1, the resulting error on S_1 vanishing as xq_1^2 . One thus has

$$S_1 = \sum_{q=0}^{q_1} \left[e^{-\beta\epsilon_q(0^+)} - 1 \right] + o(1). \quad (32)$$

The second piece contains the intermediate states, such that $|\epsilon_q(\omega)| < A\hbar\omega$. As the level spacing between the $\epsilon_q(\omega)$ is of order $\hbar\omega$ at least[55], it contains a finite number $O(A)$ of terms, and each terms vanishes when ω vanishes, so that $S_2 = o(1)$.

The third piece contains the states $A < \epsilon_q(\omega)$, that reconstruct the free space efimovian scattering states when $\omega \rightarrow 0$. On can use for these states the large- q expansion

$$\frac{\epsilon_q(\omega)}{\hbar\omega} = 2q + \Delta(\epsilon_q(\omega)) + O(1/q) \quad (33)$$

where the dimensionless function of the energy $\Delta(\epsilon)$ is given by equation (C6) of [21]. In each term of S_3 , one uses the approximation $e^{-2qx} \simeq e^{-\beta\epsilon_q}[1 + x\Delta(\epsilon_q)]$, and one replaces the sum over q by an integral over energy; since the level spacings are almost constant, $\epsilon_{q+1} - \epsilon_q = 2\hbar\omega[1 + O(\hbar\omega/\epsilon_q)]$ [48], one gets

$$S_3 = -\frac{1}{2} \int_{A\hbar\omega}^{+\infty} d\epsilon e^{-\beta\epsilon} \beta \Delta(\epsilon) + o(1). \quad (34)$$

Collecting the three pieces and writing up $\Delta(\epsilon)$ explicitly

as in [21], one finally obtains for $\omega \rightarrow 0$:

$$S(0^+) = \left\{ \sum_{q \geq 0} \left[e^{-\beta\epsilon_q(0^+)} - 1 \right] \right\} + \frac{|s_0|}{\pi} \left\{ \frac{1}{2} \ln(e^\gamma \beta E_t) - \sum_{p \geq 1} e^{-p\pi|s_0|} \operatorname{Re} \left[\Gamma(-ip|s_0|)(\beta E_t)^{ip|s_0|} \right] \right\}, \quad (35)$$

where $\gamma = 0.577215\dots$ is Euler's constant, and the free space trimer energy $\epsilon_q(0^+)$ is given by (21). One can note that the bound state contribution $\sum_{q \geq 0} e^{-\beta\epsilon_q(0^+)}$ is divergent, and has thus to be collected with the contribution of the continuum to obtain the counter-term -1 ensuring the convergence of the sum in (35); in the case of the second virial coefficient of a plasma, the (two-body) bound states have an hydrogenoid spectrum, which requires the more elaborated counter-term $-(1 + \beta\epsilon_q)$ to get a converging sum [49][56].

B. Working on the universal contribution $\sigma(\omega)$

Let us extract from the definition (26) of $\sigma(\omega)$ the contribution of the angular momentum l and let us sum over q , to obtain

$$\sigma = \sum_{l \geq 0} \sigma_l, \quad \text{with } \sigma_l = \frac{l + \frac{1}{2}}{\operatorname{sh} x} \sum_{n \geq \delta_{l,0}} \left(e^{-xu_{l,n}} - e^{-xv_{l,n}} \right). \quad (36)$$

The key point is now that the function $\Lambda_l(s)$ has a simple root[57] in $u_{l,n}$ and a simple pole[58] in $v_{l,n}$, so that its logarithmic derivative has a pole in both points, with a residue respectively equal to $+1$ et -1 . By inverse application of the residue formula, one thus finds for $l > 0$ that

$$\sigma_l(\omega) \stackrel{l \geq 0}{=} \frac{l + \frac{1}{2}}{\operatorname{sh} x} \int_C \frac{dz}{2i\pi} \frac{\Lambda'_l(z)}{\Lambda_l(z)} e^{-xz} \quad (37)$$

where the integral is taken over the contour C that comes from $z = +\infty + i\eta$ ($\eta > 0$), moves parallelly to and above the real axis, crosses the real axis close to the origin and then tends to $z = +\infty - i\eta$ moving parallelly to and below the real axis. This contour indeed encloses all the positive roots $(u_{l,n})_{n \geq 0}$ and all the positive poles $(v_{l,n})_{n \geq 0}$ of the function $\Lambda_l(z)$. As $\Lambda_l(z)$ ($l > 0$) has no other roots or poles in the half-plane $\operatorname{Re} z \geq 0$, one can unfold C around the origin and map it to the purely imaginary axis $z = iS$:

$$\sigma_l(\omega) \stackrel{l \geq 0}{=} \frac{l + \frac{1}{2}}{\pi \operatorname{sh} x} \int_0^{+\infty} dS \frac{\Lambda'_l(iS)}{\Lambda_l(iS)} i \sin(xS) \quad (38)$$

where the fact that $\Lambda'_l(iS)/\Lambda_l(iS)$ is an odd function allows one to omit the $\cos(xS)$ and to restrict integration to $S > 0$. It is then elementary to take the $x \rightarrow 0$ limit, and a simple integration by parts leads to the nice result:

$$\sigma_l(0^+) \stackrel{l \geq 0}{=} -\frac{2l + 1}{2\pi} \int_0^{+\infty} dS \ln \left(\frac{\Lambda_l(iS)}{\cos \nu} \right). \quad (39)$$

According to (17,18), the function $\Lambda_l(iS)/\cos \nu$ exponentially tends to 1 at infinity, so that the integral in (39) rapidly converges.

The case $l = 0$ requires some twist of the previous reasoning. First, the pole $v_{0,0}$ of the function $\Lambda_0(s)$ does not contribute to $\sigma(\omega)$, since $(l, n) = (0, 0)$ is in the efimovian channel. Second, the existence of the efimovian roots $\pm i|s_0|$ of $\Lambda_0(s)$ prevents one from folding back the integration contour C on the purely imaginary axis. Both points are solved by considering the function $\frac{s^2 - v_{0,0}^2}{s^2 - s_0^2} \Lambda_0(s)$ rather than the function $\Lambda_0(s)$ itself: The rational prefactor suppresses the poles $\pm v_{0,0}$ and the roots $\pm s_0$ without destroying the parity invariance that we have used. In the limit $\omega \rightarrow 0$, this leads to[59]

$$\sigma_0(0^+) = -\frac{1}{2\pi} \int_0^{+\infty} dS \ln \left(\frac{S^2 + 1}{S^2 - |s_0|^2} \frac{\Lambda_0(iS)}{\cos \nu} \right). \quad (40)$$

From the writing (17,18) of the functions $\Lambda_l(s = iS)$, and using the numerical tools of formal integration software, one obtains in a few minutes, the value of the constant term in $\Delta B_3(0^+)$:

$$1 + \sigma(0^+) = 1 - 0,364\,037 \dots = 0,635\,962 \dots \quad (41)$$

One observes that $(\sigma_l(0^+))_{l \geq 1}$ is an alternating sequence with a rapidly decreasing modulus, so that the error due to a truncation in l is bounded by the first neglected term. Analytically, one can obtain the elegant asymptotic form[60]

$$\sigma_l(0^+) \underset{l \rightarrow \infty}{\sim} \left(\frac{l}{\pi} \right)^{1/2} \frac{(-\tan \frac{\nu}{2})^l}{\cos \frac{\nu}{2} (\cos \nu)^{3/2}}, \quad (42)$$

where ν is the mass angle (16).

C. An entirely analytical evaluation

The fact that $\sigma_l(0^+)$ is rapidly decreasing with the angular momentum, even in the absence of physical interpretation, can be understood from the fact that, for $l > 0$, the deviations of $\Lambda_l(iS)/\cos \nu$ from unity vanish as $-(-\nu)^l$, this is obvious on the writing (15):

$$\delta_l(S) \equiv \frac{\Lambda_l(iS)}{\cos \nu} - 1 \underset{\nu \rightarrow 0}{=} O(\nu^l). \quad (43)$$

For $\nu = \pi/6$, one finds that, already for $l = 1$, the maximum of $|\delta_l(S)|$, reached in $S = 0$, has the small value $\simeq 0,273$. This gives the idea of treating each δ_l (for $l > 0$) as an infinitesimal quantity of order l . The series expansion of $\ln[1 + \delta_l(S)]$ in powers of δ_l in (39) is convergent and generates a convergent expansion of $\sigma_l(0^+)$:

$$\sigma_l(0^+) \stackrel{l \geq 0}{=} \sum_{n \geq 1} \sigma_l^{(n)}, \text{ with } \sigma_l^{(n)} = (2l+1) \frac{(-1)^n}{n} \int_{\mathbb{R}} \frac{dS}{4\pi} [\delta_l(S)]^n. \quad (44)$$

The resulting integral can in principle be calculated analytically by the residue formula, for $0 < \nu < \pi/2$, which leads to series that can be expressed in terms of the Bose functions $g_\alpha(z) = \sum_{k \geq 1} z^k/k^\alpha$, also called polylogarithms, but this rapidly becomes tedious at large l or n . We thus restrict ourselves to the order 3 included. For $n \leq 2$, it is actually simpler to directly calculate the sum over all $l \geq 1$ of $\sigma_l^{(n)}$, that we note as $\sigma_{1:\infty}^{(n)}$. We finally keep as the desired approximation:

$$\sigma(0^+) \approx \sigma_0(0^+) + \sigma_{1:\infty}^{(1)} + \sigma_{1:\infty}^{(2)} + \sigma_1^{(3)}. \quad (45)$$

The second and third terms of the approximation (45) can be expressed simply for an arbitrary ν as [61]

$$\sigma_{1:\infty}^{(1)} = \frac{1}{\pi \cos \nu (1 + \sin \nu)} - \frac{\operatorname{argth}(\sin \nu)}{\pi \cos \nu \sin \nu} \quad (46)$$

$$\sigma_{1:\infty}^{(2)} = \frac{2\nu}{\pi^2 \sin \nu \cos^3 \nu} - \frac{4[\frac{7}{8}\zeta(3) - \operatorname{Re} C_3 - \nu \operatorname{Im} C_2]}{(\pi \sin \nu \cos \nu)^2} \quad (47)$$

with ζ the Riemann function and $C_\alpha = g_\alpha(e^{2i\nu}) - \frac{1}{2^\alpha} g_\alpha(e^{4i\nu})$. For $\nu = \pi/6$, one has simply $\operatorname{Re} C_3 = \frac{7}{18}\zeta(3)$ and $\operatorname{Im} C_2 = \frac{\sqrt{3}}{72}[\psi'(\frac{1}{6}) - \psi'(\frac{5}{6})]$, where ψ is the digamma function and ψ' its first order derivative. To be concise, we give the value of the last term of (45) for $\nu = \pi/6$ only:

$$\begin{aligned} \sigma_1^{(3)} &= \frac{64}{\pi^3 \sqrt{3}} \left(\frac{17D_3}{432} - \frac{14\zeta(3)}{3} - \frac{403\zeta(5)}{27} + 2 \right) \\ &\quad + \frac{16}{9\pi^2} \left(\frac{17D_3}{54} + 5D_1 - \frac{322\zeta(3)}{3} - 36 \right) \\ &\quad + \frac{32}{3\pi\sqrt{3}} \left(\frac{5D_1}{9} - \frac{112\zeta(3)}{27} + \frac{8}{3} - 2\ln 3 \right), \end{aligned} \quad (48)$$

with $D_k = \psi^{(k)}(\frac{1}{3}) - \psi^{(k)}(\frac{2}{3})$, $\psi^{(k)}$ being the k^{th} derivative of the digamma function, see relation 8.363(8) of reference [50].

It remains to analytically evaluate the first term of (45), that is the universal contribution at zero angular momentum $\sigma_0(0^+)$ given by (40). Since a series expansion of the logarithm around 1 is not suited to this case, we directly expand to second order in powers of the mass angle[62]: according to (17),

$$\frac{\Lambda_0(iS)}{\cos \nu} = 1 - \frac{2}{\operatorname{ch}(S\pi/2)} - \frac{4}{3}\nu^2 \frac{1 + S^2/4}{\operatorname{ch}(S\pi/2)} + O(\nu^4). \quad (49)$$

This first allows one to evaluate the efimovian root

$$|s_0| = \theta + \frac{8\nu^2}{3\pi\sqrt{3}}(1 + \theta^2/4) + O(\nu^4) \quad (50)$$

where $\theta = \frac{2}{\pi} \operatorname{argch} 2 = 0,838\,401\dots$, in a way that reproduces (for $\nu = \pi/6$) its exact value (19) within one part per thousand. Then, after a few applications of the residue formula, one obtains the desired approximation up to order 3 included:

$$\sigma_0(0^+) \simeq -\frac{1 + \theta^2}{8} - \frac{2\nu^2}{9\pi\sqrt{3}} \theta(1 + \theta^2/4). \quad (51)$$

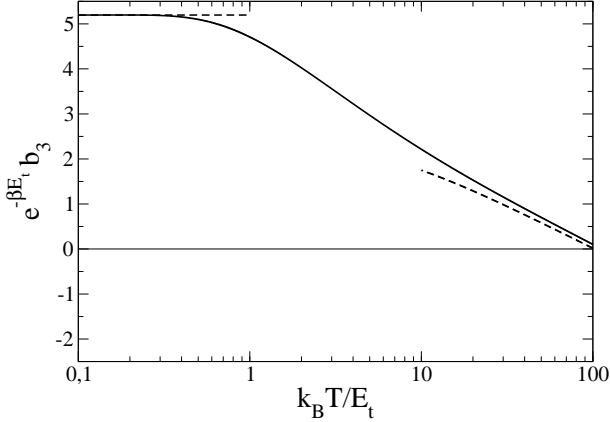


FIG. 1: Third cumulant b_3 of the spatially homogeneous unitary Bose gas: b_3 is multiplied by $e^{-\beta E_t}$ and plotted as a function of temperature T as a solid line. The dashed lines to the left and to the right respectively correspond to the approximations (54) and (55), that have been multiplied by $e^{-\beta E_t}$. ($-E_t$) is the energy of the ground state (efimovian) trimer, and $\beta = 1/(k_B T)$.

For $\nu = \pi/6$, our analytical approximation (45) then leads to

$$1 + \sigma(0^+) \simeq 1 - 0,364\,613 \dots = 0,635\,386 \dots \quad (52)$$

which reproduces the exact value (41) within one part per thousand. Such a precision is sufficient in practice, considering the present uncertainty on the measurements of the equation of state of the ultracold atomic gases [5–7] and the fact that b_3 is the coefficient of a term that has to be small in a weak density expansion.

IV. CONCLUSION

We have shown that one can entirely analytically determine the third cumulant b_3 of the spatially homogeneous unitary Bose gas of three-body parameter R_t and thermal de Broglie wavelength λ : The result[63]

$$b_3 = 3\sqrt{3}[S(0^+) + C] \quad \text{with } C = 0,648 \dots \quad (53)$$

is the sum of a function $S(0^+)$ of λ/R_t exactly given by equation (35), and of a constant C ; we have found an original integral representation of C that makes its numerical evaluation straightforward, and that allows one to perform a perturbative expansion of C , in principle to arbitrary order but restricted here to third order included, taking the mass angle $\nu = \pi/6$ as a small param-

eter. This gives access to the third virial coefficient a_3 of the unitary Bose gas, combining relations (3) and (12).

As shown by the figure, our result has the physical interest of describing the crossover between two limiting regimes, the low-temperature regime $k_B T \ll E_t$, where b_3 is dominated by the contribution of the ground state trimer of energy $-E_t$:

$$b_3 \simeq 3\sqrt{3} e^{\beta E_t}, \quad (54)$$

with $E_t \propto \hbar^2/(mR_t^2)$, and the regime $k_B T \gg E_t$, where the trimers are almost fully dissociated:

$$b_3 \simeq 3\sqrt{3} \frac{|s_0|}{2\pi} \ln(e^{\gamma+2\pi C/|s_0|} \beta E_t). \quad (55)$$

The exponential approximation (54) agrees with the expression (193) of reference [31], that was very simply deduced from the chemical equilibrium condition of the gas. The logarithmic approximation (55) can also be recovered, within a constant factor inside the logarithm, by a calculation that totally differs from ours, the extraction of the loss rate constant L_3 from the free-space inelastic scattering problem of three bosons [19], further combined with equation (25) of [21] that relates (through general arguments) $\partial b_3/\partial(\ln R_t)$ to L_3 in the weak inelasticity limit of that scattering problem.

In practice, in the temperature range where the logarithmic approximation (55) well reproduces our values of b_3 , it may be difficult to ensure that the unitary limit is reached, *i.e.* that the finite (real or effective) range of the interaction is indeed negligible. In particular, it is not guaranteed that the change of sign of b_3 at high temperature, as predicted by the zero-range efimovian theory used in this paper[64], may really be observed for a more realistic model such as the ones of references [28, 44–46], or in ultracold-atom experiments. Answering this question requires the study of a specific model for the interaction and must be kept for future investigation.

Acknowledgments

This work was performed in the frame of the ERC project FERLODIM. We thank our colleagues of the ultracold fermion group at LKB, in particular Nir Navon, and we thank Xavier Leyronas at LPS, for useful discussions about the unitary Bose gas and the virial coefficients.

[1] J.M. Vogels *et al.*, Phys. Rev. A **56**, R1067 (1997).
[2] C. Chin, R. Grimm, P. Julienne, E. Tiesinga, Rev. Mod. Phys. **82**, 1225 (2010).

[3] K.M. O’Hara *et al.*, Science **298**, 2179 (2002); T. Bourdel *et al.*, Phys. Rev. Lett. **91**, 020402 (2003);
[4] *The BCS-BEC Crossover and the Unitary Fermi Gas*,

- LNIP 836, edited by W. Zwerger (Springer, Berlin, 2012).
- [5] S. Nascimbène *et al.*, Nature **463**, 1057 (2010).
- [6] N. Navon, S. Nascimbène, F. Chevy, C. Salomon, Science **328**, 729 (2010).
- [7] Mark J.H. Ku, A.T. Sommer, L.W. Cheuk, M.W. Zwierlein, Science **335**, 563 (2012).
- [8] M. M. Forbes, S. Gandolfi, A. Gezerlis, Phys. Rev. Lett. **106**, 235303 (2011).
- [9] E. Burovski, N. Prokof'ev, B. Svistunov, M. Troyer, Phys. Rev. Lett. **96**, 160402 (2006).
- [10] O. Goulko, M. Wingate, Phys. Rev. A **82**, 053621 (2010).
- [11] K. Van Houcke *et al.*, Nature Phys. **8**, 366 (2012).
- [12] S. Jonsell, H. Heiselberg, C.J. Pethick, Phys. Rev. Lett. **89**, 250401 (2002).
- [13] Xia-Ji Liu, Hui Hu, P. D. Drummond, Phys. Rev. Lett. **102**, 160401 (2009); Phys. Rev. A **82**, 023619 (2010).
- [14] F. Werner, Y. Castin, Phys. Rev. Lett. **97**, 150401 (2006).
- [15] X. Leyronas, Phys. Rev. A **84**, 053633 (2011).
- [16] D. Rakshit, K. M. Daily, D. Blume, Phys. Rev. A **85**, 033634 (2012).
- [17] V. Efimov, Sov. J. Nucl. Phys. **12**, 589 (1971).
- [18] F. Ferlaino, A. Zezini, M. Berninger, B. Huang, H.-C. Ngerl, R. Grimm, Few-Body Syst. **51**, 113 (2011).
- [19] B. S. Rem *et al.*, <http://hal.archives-ouvertes.fr/hal-00768038>
- [20] J. P. D’Incao, H. Suno, B. D. Esry, Phys. Rev. Lett. **93**, 123201 (2004).
- [21] F. Werner, Y. Castin, Phys. Rev. A **86**, 053633 (2012).
- [22] A. J. Daley *et al.*, Phys. Rev. Lett. **102**, 040402 (2009).
- [23] J. Levinsen, T.G. Tiecke, J.T.M. Walraven, D.S. Petrov, Phys. Rev. Lett. **103**, 153202 (2009).
- [24] Yujun Wang, J. P. D’Incao, B.D. Esry, Phys. Rev. A **83**, 042710 (2011).
- [25] S. Cowell *et al.*, Phys. Rev. Lett. **88**, 210403 (2002).
- [26] J. M. Diederix, T. C. F. van Heijst, H. T. C. Stoof, Phys. Rev. A **84**, 033618 (2011).
- [27] Weiran Li, Tin-Lun Ho, Phys. Rev. Lett. **108**, 195301 (2012).
- [28] J. von Stecher, J. Phys. B **43**, 101002 (2010).
- [29] E. Beth, G.E. Uhlenbeck, Physica III 8, 729 (1936); Physica IV 10, 915 (1937).
- [30] K. Huang, in *Statistical Mechanics*, p. 427 (Wiley, New York, 1963).
- [31] A. Pais, G.E. Uhlenbeck, Phys. Rev. **116**, 250 (1959).
- [32] W.G. Gibson, Phys. Letters **21**, 619 (1966); A.S. Reiner, Phys. Rev. **151**, 170 (1966).
- [33] R. Dashen, Shang-keng Ma, H.J. Bernstein, Phys. Rev. **187**, 345 (1969); S. Servadio, Il Nuovo Cimento **102**, 1 (1988).
- [34] A. Royer, J. Math. Phys. **24**, 897 (1983).
- [35] P. Grüter, F. Laloë, J. Physique I **5**, 181 (1995).
- [36] P.F. Bedaque, G. Rupak, Phys. Rev. B **67**, 174513 (2003).
- [37] A. Comtet, Y. Georgelin, S. Ouvry, J. Phys. A **22**, 3917 (1989).
- [38] J. McCabe, S. Ouvry, Phys. Lett. B **260**, 113 (1990).
- [39] J. Law, Akira Suzuki, R.K. Bhaduri, Phys. Rev. A **46**, 4693 (1992).
- [40] T. Busch, B.G. Englert, K. Rzazewski, M. Wilkens, Found. Phys. **28**, 549 (1998).
- [41] F. Werner, Y. Castin, Phys. Rev. A **74**, 053604 (2006).
- [42] G. Gasaneo, J.H. Macek, J. Phys. B **35**, 2239 (2002); M. Birse, J. Phys. A **39**, L49 (2006).
- [43] Y. Castin, E. Tignone, Phys. Rev. A **84**, 062704 (2011).
- [44] D.S. Petrov, Phys. Rev. Lett. **93**, 143201 (2004).
- [45] A.O. Gogolin, C. Mora, R. Egger, Phys. Rev. Lett. **100**, 140404 (2008).
- [46] L. Pricoupenko, Phys. Rev. A **82**, 043633 (2010).
- [47] R. Schmidt, S.P. Rath, W. Zwerger, Eur. Phys. J. B **85**, 386 (2012).
- [48] F. Werner, PhD thesis, University Paris 6 (2008), <http://tel.archives-ouvertes.fr/tel-00285587>
- [49] A.I. Larkin, Sov. Phys. JETP **11**, 1363 (1960).
- [50] I.S. Gradshteyn, I. M. Ryzhik, in *Tables of Integrals, Series, and Products*, fifth edition, edited by A. Jeffrey (Academic Press, San Diego, 1994).
- [51] This holds within a dimensionless factor which is a periodic function of $\ln(R_t/\lambda)$ [19, 21], where R_t is the three-body parameter.
- [52] The non-Laughlinian states of the ideal gas are indeed the limit for $a \rightarrow 0^-$ of the non-Laughlinian states of the interacting case, for which a Faddeev type ansatz for the wavefunction is justified, $\psi(\mathbf{r}_1, \mathbf{r}_2, \mathbf{r}_3) = (1 + P_{13} + P_{23})\mathcal{F}(r, \rho, \mathbf{C})$, where P_{ij} transposes particles i and j , $\mathbf{r} = \mathbf{r}_2 - \mathbf{r}_1$, $\rho = (2\mathbf{r}_3 - \mathbf{r}_1 - \mathbf{r}_2)/\sqrt{3}$ and $\mathbf{C} = (\mathbf{r}_1 + \mathbf{r}_2 + \mathbf{r}_3)/3$. This can be seen formally by integrating Schrödinger’s equation for a regularized- δ interaction, in terms of the Green’s function of the non-interacting three-body Hamiltonian.
- [53] For $a = 0$, one requires that the wavefunction ψ does not diverge as $1/r$ when $\mathbf{r} = \mathbf{r}_2 - \mathbf{r}_1 \rightarrow \mathbf{0}$. For $1/a = 0$, one requires that ψ has no r^0 term in its expansion in powers of r (for fixed $\mathbf{r}_1 + \mathbf{r}_2$ and \mathbf{r}_3). When $\psi \equiv 0$, both constraints are satisfied, in which case $u^{(0)}$ and u coincide.
- [54] That equation (17) for $l < 2$ contains an error, induced by a wrong labeling of the unphysical roots.
- [55] The derivative with respect to $\epsilon_q/(\hbar\omega)$ of the left-hand side of equation (20) is indeed uniformly bounded, according to relation 8.362(1) of reference [50].
- [56] Changing R_t into $\tilde{R}_t = e^{-\pi/|s_0|}R_t$, according to (20), has the only effect on the Efimov spectrum of adding a “ $q = -1$ ” state, so that $\tilde{S}(0^+) = \exp(\beta E_t e^{2\pi/|s_0|}) + S(0^+)$. This functional property determines $S(0^+)$ [and reproduces the first two contributions in (35)] up to an unknown additive function of $\ln(\beta E_t)$ with a period $2\pi/|s_0|$.
- [57] To prove by contradiction the absence of multiple roots, let us recall that the hyperangular part of the Efimov ansatz is $\Phi(\Omega) = (1 + P_{13} + P_{23}) \frac{\varphi(\alpha)}{\sin 2\alpha} Y_l^{m_l}(\rho/\rho)$, where we introduced, in addition to the notations of footnote [52], the variable $\alpha = \text{atan}(r/\rho)$, the spherical harmonics $Y_l^{m_l}$, the set Ω of the five hyperangles and a function $\varphi(\alpha)$ that vanishes in $\pi/2$. Schrödinger’s equation then imposes $(4 - s^2 - \Delta_\Omega)\Phi = 0$, where Δ_Ω is the Laplacian on the hypersphere, so that $-\varphi'' + \frac{l(l+1)}{\cos^2 \alpha} \varphi = s^2 \varphi$. The Wigner-Bethe-Peierls contact conditions for $1/a = 0$ further impose the boundary condition $\varphi'(0) + \frac{4(-1)^l}{\cos \nu} \varphi(\frac{\pi}{2} - \nu) = 0$, which is essentially the transcendental equation $\Lambda_l(s) = 0$ [see footnote [58]]. If $s > 0$ is a double root, $\varphi(\alpha) = \partial_{s^2} \varphi(\alpha)$ obeys the same boundary conditions as $\varphi(\alpha)$, with $-\varphi'' + \frac{l(l+1)}{\cos^2 \alpha} \varphi = s^2 \varphi + \varphi$. Then $\Psi(\Omega) \equiv (1 + P_{13} + P_{23}) \frac{\psi(\alpha)}{\sin 2\alpha} Y_l^{m_l}(\rho/\rho)$ obeys the $1/a = 0$ Wigner-Bethe-Peierls contact conditions, and the inhomogeneous equation $(4 - s^2 - \Delta_\Omega)\Psi = \Phi$; the scalar product of this equation which Φ leads to the contradiction $0 = \int d^5\Omega |\Phi(\Omega)|^2$, since the Laplacian is hermitian

- for fixed contact conditions.
- [58] For particular values of ν different from $\pi/6$, e.g. $\nu = \pi/5$, the function ${}_2F_1$ in (15) vanishes in $s = v_{l,n}$, in which case $v_{l,n}$ is not a pole of $\Lambda_l(s)$. The true form of the transcendental equation for s , however, as given in footnote [57] and whose the $u_{l,n}$ must be the roots, is $\Lambda_l(s)/[\Gamma(\frac{l+1+s}{2})\Gamma(\frac{l+1-s}{2})] = 0$; there is then a fully acceptable root $u_{l,n} = v_{l,n}$, which is however not a root of $\Lambda_l(s)$ and was thus missed by the form (15). As these “ghost” roots and poles of $\Lambda_l(s)$ actually coincide, they do not contribute to $\sigma_l(\omega)$.
 - [59] A related integral appears in equation (87) of [43], which establishes an unexpected link between b_3 and the value of R_t/R_* on a narrow Feshbach resonance (with a Feshbach length R_*).
 - [60] In (15), one replaces ${}_2F_1$ by the usual series expansion, involving a sum over $k \in \mathbb{N}$, see relation 9.100 in reference [50]. One takes the limit $l \rightarrow +\infty$ for fixed $y \equiv k/l$ and $\tau \equiv S/l^{1/2}$, one approximates each term by its Stirling equivalent, and one replaces the sum over k by an integral over y . The resulting integrand contains a factor $e^{lu(y)}$, where $u(y) = 2(y+\frac{1}{2})\ln(y+\frac{1}{2}) - (y+1)\ln(y+1) - y\ln y +$ $2y\ln(\sin \nu)$, which allows one to use Laplace method and leads to $\delta_l(S) \sim \frac{(-1)^{l+1} 2^{1/2}}{l \cos \nu \cos \frac{\nu}{2}} (\tan \frac{\nu}{2})^l \exp(-\frac{1}{2}\tau^2 \cos \nu)$ [a quantity defined in (43)], whose insertion in (39) gives (42).
 - [61] This results, among other things, from equation (35) of [43] adapted to the bosonic case. In (46), this equation led to an expression of $\sigma_l^{(1)}$ in terms of the associated Legendre function $Q_l(X)$, that one writes as in relation 8.821(3) of [50] to be able to sum over l . In (47), this equation was combined to the Parseval-Plancherel identity (to integrate over S) and to the fact that the polynomials $(l + \frac{1}{2})^{1/2} P_l(X)$ form an orthonormal basis in the functional space $L_2([-1, 1])$ (to sum over l).
 - [62] this is justified even under the integral, since the integral over S in (40) converges over a distance of order unity.
 - [63] Indeed $C = 1 + \sigma(0^+) + B_3^{(0)}(0^+)$, see (7), (29), (30) and (41).
 - [64] Using the full expression (53), one finds that $b_3 = 0$ for $k_B T/E_t \simeq 112, 56$.

Troisième coefficient du viriel du gaz de Bose unitaire

Yvan Castin¹ and Félix Werner¹

¹*Laboratoire Kastler Brossel, École Normale Supérieure,
CNRS et UPMC, 24 rue Lhomond, 75231 Paris, France*

Nous entendons par gaz de Bose unitaire un système composé de bosons sans spin interagissant dans l'onde s par un potentiel de longueur de diffusion infinie et de portée (réelle ou effective) presque négligeable, système pour l'instant abstrait mais dont la tentative de réalisation avec des atomes froids est en cours. À partir de la solution analytique connue du problème à trois corps dans un piège harmonique, et de méthodes précédemment développées pour des fermions, nous déterminons le troisième cumulant b_3 , puis le troisième coefficient du viriel a_3 de ce gaz, dans le cas spatialement homogène, en fonction de sa température et du paramètre à trois corps R_t caractérisant l'effet Efimov. Un point marquant est qu'en convertissant des séries en des intégrales (par une méthode des résidus inverse), puis en utilisant un petit paramètre inattendu, l'angle de masse $\nu = \pi/6$ des trois bosons, on peut pousser l'estimation complètement analytique de b_3 et de a_3 jusqu'à une erreur en pratique négligeable.

PACS numbers: 67.85.-d

I. INTRODUCTION

Le domaine des gaz quantiques a pris, depuis une dizaine d'années, un tournant décisif, celui des interactions fortes, grâce à la possibilité de donner à la longueur de diffusion dans l'onde s des valeurs arbitrairement grandes (en valeur absolue) par la technique des résonances de Feshbach magnétiques [1, 2]. Ceci ouvre l'étude d'un objet fascinant, le gaz unitaire, dans lequel les interactions entre particules ont une longueur de diffusion infinie dans l'onde s et une portée négligeable. L'amplitude de diffusion à deux corps dans l'onde s atteint alors le module maximal autorisé par l'unitarité de la matrice S , et le gaz est en interaction maximale.

Pour les gaz de fermions de spin 1/2, la réalisation et la caractérisation expérimentales du régime d'interaction forte ont été un plein succès [3, 4], culminant récemment avec la mesure de l'équation d'état du gaz unitaire, aussi bien à haute qu'à basse température T [5–7]. Dans le cas non polarisé de spin, ceci a permis une comparaison très fine avec les approches théoriques, elles-mêmes poussées dans leurs retranchements. À température nulle, en pratique $T/T_F \ll 1$, où T_F est la température de Fermi, les mesures ont confirmé la précision des plus récents calculs variationnels à surface nodale fixée, pour ce qui est du nombre universel $\xi = \mu/(k_B T_F)$, μ étant le potentiel chimique du gaz [8]. Pour la transition de phase superfluide, les expériences confirment la classe d'universalité attendue et trouvent une valeur de la température critique T_c qui corrige légèrement le résultat des premiers calculs de Monte-Carlo quantique [9] et confirme celui des plus récents [10]. Au-dessus de T_c , les mesures du MIT sont en accord remarquable avec la méthode de Monte-Carlo diagrammatique [11]. Finalement, dans le régime non dégénéré $T > T_F$, les expériences à l'ENS ont pu confirmer la valeur du troisième coefficient du viriel a_3 du gaz spatialement homogène, déjà déduite théoriquement [13] de la solution analytique du problème à trois corps dans un piège harmonique [14] et reproduite depuis par

une méthode diagrammatique [15] ; ces expériences devancent même la théorie en obtenant la valeur de a_4 , non encore extraite théoriquement de façon fiable du problème à quatre corps [16].

En ce qui concerne les gaz de bosons sans spin en interaction forte, les études expérimentales sont moins avancées, à cause de l'effet Efimov [17] : l'attraction effective à trois corps prédicta par Efimov, et à l'origine des ses fameux trimères faiblement liés dont on a désormais une signature expérimentale [18], exalte les pertes d'atomes dans les gaz, dues aux collisions à trois corps avec formation très exothermique de dimères fortement liés. Dans la limite unitaire, on ne peut pour l'instant préparer un gaz de Bose stable et à l'équilibre thermique que dans le régime non dégénéré $\rho\lambda^3 \ll 1$ [19], où ρ est la densité du gaz et $\lambda = (2\pi\hbar^2/mk_B T)^{1/2}$ la longueur d'onde thermique de de Broglie : le taux de collision élastique à deux corps, en $\frac{\hbar}{m}\rho\lambda$, l'emporte alors sur le taux de pertes à trois corps, en $\frac{\hbar}{m}\rho\lambda^4$ [20] [51]. Il existe heureusement quelques pistes à explorer pour réduire les pertes, comme la mise à profit dans un réseau optique de l'effet Zénon quantique qu'elles induisent [22] ou simplement l'utilisation de résonances de Feshbach étroites [23, 24].

D'un point de vue théorique, l'étude du gaz de Bose unitaire en est elle-même à ses prémices. La plupart des travaux ne prennent pas en compte de manière exacte les corrélations à trois corps et plus [25–27] ; ils ne peuvent donc rendre compte quantitativement du fait que les interactions entre bosons à résonance mettent en jeu le paramètre à trois corps R_t , une longueur donnant l'échelle d'énergie globale dans le spectre des trimères d'Efimov (que ne peut ici fournir la longueur de diffusion puisqu'elle est infinie). Aussi les différentes phases quantiques sous lesquelles le système de Bose unitaire pourrait exister à l'équilibre thermique, en fonction de la température, restent-elles encore à explorer. À température nulle, l'ajout d'une interaction de cœur dur à trois corps, qui permet d'ajuster la valeur de R_t et empêche aussi l'effondrement du système sur lui-même, a conduit à mon-

trer, par des calculs numériques limités à une dizaine de particules, que les bosons forment un état lié à N corps, dont l'énergie semble varier linéairement en N [28], ce qui suggère une phase à densité plafonnée à grand N , par exemple une phase liquide. À haute température (plus précisément à basse densité $\rho\lambda^3 \rightarrow 0$), l'angle d'attaque naturel est celui du développement du viriel [29], dont nous rappelons ici la forme pour le gaz spatialement homogène [30] :

$$\frac{P\lambda^3}{k_B T} = \sum_{n \geq 1} a_n (\rho\lambda^3)^n \quad (1)$$

où P est la pression du gaz. Le coefficient a_n constitue précisément le $n^{\text{ème}}$ coefficient du viriel. En pratique, il sera plus commode de déterminer les coefficients b_n du développement du grand potentiel Ω en puissances de la fugacité $z = e^{\beta\mu}$, le potentiel chimique μ tendant vers $-\infty$:

$$\Omega = -\frac{V}{\lambda^3} k_B T \sum_{n \geq 1} b_n z^n, \quad (2)$$

V étant le volume du système et $\beta = 1/(k_B T)$. Comme $-\beta\Omega$ est le logarithme de la fonction de partition grand canonique, il est naturel de baptiser le coefficient b_n $n^{\text{ème}}$ cumulant. La connaissance de tous les cumulants jusqu'à l'ordre n inclus permet de déterminer tous les coefficients du viriel jusqu'au même ordre. On notera que $a_1 = b_1 = 1$ par construction ; les expressions d'ordre supérieur utiles ici se déduisent simplement des relations thermodynamiques $\Omega = -PV$ et $N = -\partial_\mu\Omega$ [30] :

$$a_2 = -b_2 \quad \text{et} \quad a_3 = 4b_2^2 - 2b_3. \quad (3)$$

Au contraire du cas fermionique, le cumulant b_3 et le coefficient du viriel a_3 des bosons à la limite unitaire ne sont pas de purs nombres, mais ce sont des fonctions du paramètre à trois corps qui n'ont pas encore été explicitement déterminées. Depuis les études fondatrices [31], il existe certes des expressions formelles de b_3 dans le cas quantique général, mettant en jeu les équations de Faddeev [32], la matrice S [33], des diagrammes de Mayer [34], un opérateur d'Ursell [30, 35]. La forme la plus opérationnelle semble être celle de [32] écrite en termes d'une amplitude de diffusion à trois corps [36], mais son évaluation pour le gaz de Bose unitaire est, à notre connaissance, purement numérique, et pour trois valeurs différentes de R_t seulement [36]. Ici, nous montrons au contraire que b_3 peut être obtenu analytiquement, à partir de la solution du problème à trois bosons harmoniquement piégés [12, 14].

Dans la première étape de la résolution, on considère le système à l'équilibre thermique dans le potentiel harmonique $U(\mathbf{r}) = \frac{1}{2}m\omega^2 r^2$, ω étant donc la pulsation d'oscillation libre, et l'on exprime le troisième cumulant $B_3(\omega)$ du gaz piégé, défini par le développement (5) à venir, en termes des fonctions de partition des problèmes à n corps piégés, $1 \leq n \leq 3$. En physique théorique, un

“régularisateur harmonique” formel a ainsi déjà été introduit pour obtenir les second [37] et troisième [38, 39] coefficients du viriel d'un gaz d'anyons. La même technique a ensuite été utilisée dans le cas des atomes froids fermioniques [13], pour tirer parti du fait que le problème à trois corps est soluble dans la limite unitaire ; notons qu'il ne s'agit alors plus seulement d'un artifice de calcul puisque ce piégeage est réalisable expérimentalement.

Dans la seconde étape, on fait tendre la raideur du piège vers zéro. Comme le montre l'application de l'approximation de densité locale [13], en fait exacte dans cette limite, les cumulants b_n du gaz homogène sont alors donnés par [13, 37]

$$\frac{b_n}{n^{3/2}} = \lim_{\omega \rightarrow 0} B_3(\omega) \equiv B_3(0^+). \quad (4)$$

Dans [13], cette limite est évaluée purement numériquement pour les fermions. Nous nous attacherons ici à montrer qu'il est en fait possible d'aller beaucoup plus loin analytiquement.

II. EXPRESSION DE ΔB_3 EN TERMES DE FONCTIONS DE PARTITION CANONIQUES

Lorsque le potentiel chimique $\mu \rightarrow -\infty$ à température fixée, ce qui correspond à une limite de faible densité, le grand potentiel du gaz de Bose unitaire piégé admet le développement

$$\Omega = -k_B T Z_1 \sum_{n \geq 1} B_n z^n \quad (5)$$

où Z_N est la fonction de partition canonique à N particules, $z = \exp(\beta\mu)$ est la fugacité, et $B_n(\omega)$ est le $n^{\text{ème}}$ cumulant du gaz piégé. Par construction, $B_1(\omega) \equiv 1$. On a aussi, par définition, $\Omega = -k_B T \ln(1 + \sum_{N \geq 1} Z_N z^N)$. En identifiant ordre par ordre en z , comme par exemple dans [13], on trouve

$$B_2 = \frac{Z_2}{Z_1} - \frac{1}{2}Z_1 \quad \text{et} \quad B_3 = \frac{Z_3}{Z_1} - Z_2 + \frac{1}{3}Z_1^2. \quad (6)$$

En réalité, on souhaite calculer l'écart au gaz parfait,

$$\Delta B_n = B_n - B_n^{(0)} \quad (7)$$

où $B_n^{(0)}(\omega)$ est le $n^{\text{ème}}$ cumulant du gaz parfait piégé. On introduit de même $\Delta Z_N = Z_N - Z_N^{(0)}$, où l'on notera que $\Delta Z_1 = 0$. Comme il y a de plus séparabilité du centre de masse dans un piège harmonique, aussi bien pour le gaz parfait que pour le gaz unitaire, et que le spectre du centre de masse est le même que celui du problème à un corps, on se ramène à des fonctions de partition du mouvement relatif à n corps, repérées par le sigle “rel” :

$$\Delta B_2 = \frac{\Delta Z_2}{Z_1} = \Delta Z_2^{\text{rel}} \quad (8)$$

$$\Delta B_3 = \frac{\Delta Z_3}{Z_1} - \Delta Z_2 = \Delta Z_3^{\text{rel}} - \Delta Z_2. \quad (9)$$

Il reste à utiliser les expressions du spectre du mouvement relatif, connues à la limite unitaire jusqu'à $n = 3$ [12, 14].

A. Cas $N = 2$

Comme les interactions modifient le spectre du mouvement relatif seulement dans le secteur de moment cinétique $l = 0$, et qu'à la limite unitaire, leur effet se résume à un décalage vers le bas de $\hbar\omega$ du spectre non perturbé $E_{l=0,n}^{(0)} = (2n + 3/2)\hbar\omega$ [40], on trouve

$$\Delta Z_2^{\text{rel}} = (e^x - 1) \sum_{n \geq 0} e^{-x(2n+3/2)} = \frac{e^{-x/2}}{1 + e^{-x}} = \Delta B_2 \quad (10)$$

où l'on a posé $x = \beta\hbar\omega$. On en déduit, en utilisant l'équation (8) et $Z_1 = [e^{-x/2}/(1 - e^{-x})]^3$, que

$$\Delta Z_2 = \frac{e^{-2x}}{(1 - e^{-x})^2(1 - e^{-2x})}. \quad (11)$$

On en déduit aussi le second cumulant du gaz de Bose unitaire spatialement homogène, en calculant $B_2^{(0)}(\omega) = \frac{1}{2}(\frac{1}{2\text{ch}(\omega/2)})^3$ puis en prenant la limite $\omega \rightarrow 0$ et en utilisant (4) :

$$\frac{b_2}{2^{3/2}} = \frac{1}{2} + \frac{1}{2^4}. \quad (12)$$

B. Cas $N = 3$

Comme il a été montré dans [14], le problème à trois bosons piégé admet une classe particulière d'états propres, qualifiés dans la suite d'états laughliniens, dont la fonction d'onde s'annule lorsqu'il y a au moins deux particules au même point. Ces états ont donc des énergies indépendantes de la longueur de diffusion a et ne contribuent pas à ΔZ_3 . Il reste donc à sommer sur les états propres non laughliniens pour le cas sans interaction ($a = 0$) et pour la limite unitaire ($1/a = 0$).

Dans le cas $a = 0$, en utilisant comme dans [13] l'ansatz d'Efimov pour la fonction d'onde à trois corps [52], on trouve les énergies propres non laughliniennes du mouvement relatif :

$$E_{\text{rel}}^{(0)} = (u_{l,n}^{(0)} + 1 + 2q)\hbar\omega \text{ de dégénérescence } 2l + 1, \quad (13)$$

où l, n, q décrivent l'ensemble des entiers naturels, l quantifiant le moment cinétique et q l'excitation du mode hyperradial [41]. Les $u^{(0)} \geq 0$ sont les racines de la fonction $s \mapsto 1/\Gamma(\frac{l-s}{2} + 1)$:

$$u_{l,n}^{(0)} = l + 2 + 2n. \quad (14)$$

En réalité, il ne faut garder dans le spectre (13) que les racines physiques, pour lesquelles l'ansatz d'Efimov n'est pas identiquement nul. Les deux racines non physiques

connues sont $u^{(0)} = 4$ pour $l = 0$, et $u^{(0)} = 3$ pour $l = 1$. Mais ceci ne jouera pas de rôle dans la suite.

Dans le cas $1/a = 0$, on utilise l'ansatz d'Efimov comme dans [14], que l'on soumet aux conditions au contact de Wigner-Bethe-Peierls, ce qui conduit à l'équation transcendante $\Lambda_l(s) = 0$, avec [42]

$$\begin{aligned} \Lambda_l(s) &= \cos \nu - (-\sin \nu)^l \frac{\Gamma(\frac{l+1+s}{2}) \Gamma(\frac{l+1-s}{2})}{\pi^{1/2} \Gamma(l + \frac{3}{2})} \\ &\times {}_2F_1\left(\frac{l+1+s}{2}, \frac{l+1-s}{2}, l + \frac{3}{2}; \sin^2 \nu\right) \end{aligned} \quad (15)$$

où ${}_2F_1$ est la fonction hypergéométrique de Gauss, et l'on a introduit, selon l'habitude, l'angle de masse, qui vaut pour trois bosons

$$\nu = \arcsin \frac{1}{2} = \frac{\pi}{6}. \quad (16)$$

En pratique, on utilisera aussi la représentation établie dans [43] pour les fermions et aisément transposée au cas bosonique, en termes des polynômes de Legendre $P_l(X)$:

$$\Lambda_l(s) \stackrel{l \text{ pair}}{=} \cos \nu - \frac{2}{\sin \nu} \int_0^\nu d\theta P_l\left(\frac{\sin \theta}{\sin \nu}\right) \frac{\cos(s\theta)}{\cos(s\pi/2)} \quad (17)$$

$$\Lambda_l(s) \stackrel{l \text{ impair}}{=} \cos \nu + \frac{2}{\sin \nu} \int_0^\nu d\theta P_l\left(\frac{\sin \theta}{\sin \nu}\right) \frac{\sin(s\theta)}{\sin(s\pi/2)} \quad (18)$$

qui permet d'écrire explicitement $\Lambda_l(s)$ avec la fonction sinus et des fractions rationnelles en s .

C. Voie efimovienne

Dans le secteur de moment cinétique nul, $l = 0$, $\Lambda_l(s)$ admet une et une seule racine $u_{0,0} \in i\mathbb{R}^+$ [14], notée habituellement

$$u_{0,0} = s_0 = i|s_0|, \quad |s_0| = 1,006\,237\,825\dots \quad (19)$$

Cette racine donne naissance à la voie efimovienne, dans laquelle les énergies propres $\epsilon_q(\omega)$ du mouvement relatif sont solutions d'une équation transcendante [12, 14] que l'on peut récrire comme dans [21] pour rendre explicite et univoque la dépendance en le nombre quantique $q \in \mathbb{N}$:

$$\text{Im} \ln \Gamma\left(\frac{1 + s_0 - \epsilon_q/(\hbar\omega)}{2}\right) + \frac{|s_0|}{2} \ln\left(\frac{2\hbar\omega}{E_t}\right) + q\pi = 0, \quad (20)$$

la fonction $\ln \Gamma(z)$ étant prise avec sa détermination standard (ligne de coupure sur \mathbb{R}^-). Dans la limite $\omega \rightarrow 0$ à q fixé, ceci reproduit la suite géométrique des trimères d'Efimov :

$$\epsilon_q(\omega) \rightarrow \epsilon_q(0^+) = -e^{-2\pi q/|s_0|} E_t, \quad (21)$$

ce qui montre que $E_t = 2 \exp[\frac{2}{|s_0|} \text{Im} \ln \Gamma(1 + s_0)] \hbar^2 / (m R_t^2)$, R_t étant le paramètre à trois corps suivant la convention de [14]. Dans une limite stricte de

portée nulle, q décrirait \mathbb{Z} et le spectre serait non borné inférieurement, ce qui interdirait l'équilibre thermique du système. Cependant, comme l'a noté Efimov [17], dans tout modèle donné d'interaction de portée b non nulle, y compris dans la réalité expérimentale, la forme géométrique (21) du spectre n'est valable que pour les trimères ayant une énergie de liaison très petite devant $\hbar^2/(mb^2)$, d'éventuels autres états trimères plus profondément liés étant hors de la limite unitaire et non universels. Ici, le nombre quantique $q = 0$ correspond donc simplement au premier état qui atteint (presque) la limite unitaire. Pour qu'une interaction puisse prétendre, à l'équilibre thermique, permettre la réalisation du gaz de Bose unitaire, il est nécessaire que $q = 0$ corresponde au vrai trimère fondamental, ce qui est bien le cas pour le modèle de [28] et pour la résonance de Feshbach étroite [44–47] : dans ces deux situations, on a en effet $E_t \simeq e^{-2\pi/l_{s0}} \hbar^2/(mb^2) \ll \hbar^2/(mb^2)$ et le spectre des trimères peut être considéré comme entièrement efimovien, comme il est supposé dans ce travail.

D. Voies universelles

Les racines réelles positives $(u_{0,n})_{n \geq 1}$ de $\Lambda_0(s)$, et les racines $(u_{l,n})_{n \geq 0}$ de $\Lambda_l(s)$ pour $l > 0$, qui sont toutes réelles [14] et que l'on choisit donc positives, donnent naissance aux états universels, c'est-à-dire non efimoviens, avec des énergies propres du mouvement relatif indépendantes de R_t :

$$E_{\text{rel}} = (u_{l,n} + 1 + 2q)\hbar\omega \text{ de dégénérescence } 2l+1, \quad (22)$$

où (l, n) décrit donc \mathbb{N}^{2*} , et q décrit \mathbb{N} , l'étoile indiquant l'exclusion de l'élément nul, ici $(0, 0)$. On notera la similitude avec le cas sans interaction (13), le nombre quantique q ayant la même origine physique [14]. Comme dans le cas sans interaction, il faut éliminer du spectre (22) les racines non physiques, qui donnent un ansatz d'Efimov identiquement nul. Cependant, ces racines non physiques sont exactement les mêmes dans les deux cas [53], ce qui nous autorise à les inclure formellement dans les fonctions de partition Z_3 et $Z_3^{(0)}$, leurs contributions (non physiques) se compensant exactement dans ΔZ_3 . En regroupant les contributions des systèmes avec et sans interaction de mêmes nombres quantiques, nous obtenons finalement :

$$\begin{aligned} \Delta Z_3^{\text{rel}} &= \sum_{q \geq 0} \left[e^{-\beta\epsilon_q(\omega)} - e^{-x(u_{0,0}^{(0)} + 1 + 2q)} \right] \\ &+ \sum_{(l,n) \in \mathbb{N}^{2*}} \sum_{q \geq 0} (2l+1) \left[e^{-x(u_{l,n} + 1 + 2q)} - e^{-x(u_{l,n}^{(0)} + 1 + 2q)} \right]. \end{aligned} \quad (23)$$

E. De commodes réarrangements

Afin de sérier les problèmes dans le passage à la limite $\omega \rightarrow 0$, il est commode de décomposer (23) en la somme

d'une contribution purement efimovienne $S(\omega)$ et d'une contribution purement universelle $\sigma(\omega)$, à des restes additifs près $R(\omega)$ et $\rho(\omega)$. On étudiera dans la suite la série efimovienne

$$S(\omega) \equiv \sum_{q \geq 0} \left[e^{-\beta\epsilon_q(\omega)} - e^{-2qx} \right], \quad (24)$$

qui reproduit la première somme de (23) au reste près

$$R(\omega) = \sum_{q \geq 0} \left[e^{-2qx} - e^{-x(u_{0,0}^{(0)} + 1 + 2q)} \right] = \frac{1 - e^{-3x}}{1 - e^{-2x}}. \quad (25)$$

On va voir aussi qu'il est doublement astucieux d'introduire la série universelle

$$\sigma(\omega) = \sum_{(l,n) \in \mathbb{N}^{2*}} \sum_{q \geq 0} (2l+1) \left[e^{-x(u_{l,n} + 1 + 2q)} - e^{-x(v_{l,n} + 1 + 2q)} \right], \quad (26)$$

où l'on a posé

$$v_{l,n} = l + 1 + 2n. \quad (27)$$

D'abord, comme mis à profit numériquement dans [13], $v_{l,n}$ n'est autre que l'équivalent de $u_{l,n}$ à grand l ou n introduit dans l'équation (17) de la référence [14] [54], ce qui assure une rapide convergence de la série σ . Ensuite, comme il est apparent sur la forme (15), les $(v_{l,n})_{n \geq 0}$ sont les pôles positifs de la fonction $\Lambda_l(s)$; l'écriture (26) évoque donc le théorème des résidus, ce que nous exploiterons bientôt. Comme $v_{l,n} = u_{l,n}^{(0)} - 1$, σ reproduit la seconde somme de (23) au reste près

$$\rho(\omega) = \sum_{(l,n) \in \mathbb{N}^{2*}} \sum_{q \geq 0} (2l+1) \left[e^{-x(v_{l,n} + 1 + 2q)} - e^{-x(u_{l,n}^{(0)} + 1 + 2q)} \right]. \quad (28)$$

Par la méthode des fonctions génératrices, il vient $\sum_{l \geq 0} (2l+1)e^{-lx} = (1 - 2\frac{d}{dx})\frac{1}{1-e^{-x}} = (1 + e^{-x})/(1 - e^{-x})^2$. Ceci, habilement joint aux égalités (11) et (25), conduit à $\rho(\omega) = \Delta Z_2 + 1 - R(\omega)$, et (9) se réduit à l'écriture limpide

$$\Delta B_3(\omega) = S(\omega) + \sigma(\omega) + 1. \quad (29)$$

Cette équation (29) est l'équivalent bosonique des expressions fermioniques (56,58) de la référence [13], dont elle diffère essentiellement par la contribution $S(\omega)$ de la voie efimovienne.

III. TRANSFORMATIONS ANALYTIQUES ET LIMITE $\omega \rightarrow 0$

La quantité physique la plus pertinente étant le troisième cumulant du gaz spatiallement homogène, il nous faut maintenant, en vertu de (4), faire tendre la raideur du piège vers zéro. Un calcul explicite pour le gaz parfait piégé donne

$$B_3^{(0)}(\omega) = \frac{1}{3} \left(\frac{e^{-x}(1 - e^{-x})}{1 - e^{-3x}} \right)^3 \xrightarrow[\omega \rightarrow 0]{} \frac{1}{3^4}. \quad (30)$$

Dans le cas unitaire, la méthode de la référence [21] permet de déterminer exactement $S(0^+)$; de plus, comme nous allons le voir, la sommation sur n dans l'équation (26) et le passage à la limite $x \rightarrow 0$ peuvent être effectuées analytiquement, et les intégrales résultantes dans $\sigma(0^+)$, très simples à évaluer numériquement, peuvent aussi être utilement approchées en prenant l'angle de masse ν comme petit paramètre.

A. Travail sur la contribution efimovienne $S(\omega)$

Un nombre positif A arbitraire mais $\gg 1$ étant choisi, nous partageons comme dans [21] les termes de la série (26) en trois classes, $S = S_1 + S_2 + S_3$.

Dans la classe numéro 1, dite *quasi-liée*, contenant les états tels que $\epsilon_q(\omega) < -A\hbar\omega$, les trois bosons occupent une zone de l'espace petite devant la taille $[\hbar/(m\omega)]^{1/2}$ du fondamental de l'oscillateur harmonique, si bien que le spectre est proche de celui de l'espace libre (21) :

$$\epsilon_q(\omega) = \epsilon_q(0^+) \left[1 - \frac{1 + |s_0|^2}{6} \left(\frac{\hbar\omega}{\epsilon_q(0^+)} \right)^2 + \dots \right] \quad (31)$$

Comme $\epsilon_q(0^+)$ est une suite géométrique, le remplacement de $\epsilon_q(\omega)$ par $\epsilon_q(0^+)$ dans S_1 conduit à une erreur d'ordre celle commise sur le dernier terme, en x/A , qui tend donc vers zéro. Pour la même raison, l'indice maximal q_1 dans cette classe croît seulement logarithmiquement, en $\frac{|s_0|}{2\pi} \ln[E_t/(2\hbar\omega)]$, ce qui autorise à remplacer chaque terme e^{-2qx} par 1, l'erreur commise sur S_1 tendant là aussi vers zéro, comme xq_1^2 . On garde donc

$$S_1 = \sum_{q=0}^{q_1} \left[e^{-\beta\epsilon_q(0^+)} - 1 \right] + o(1). \quad (32)$$

La classe numéro 2 est celle des états intermédiaires, $|\epsilon_q(\omega)| < A\hbar\omega$. Comme l'espacement entre les $\epsilon_q(\omega)$ est d'ordre $\hbar\omega$ au moins [55], cette classe comporte un nombre fini $O(A)$ de termes, chaque terme tendant vers zéro avec ω , si bien que $S_2 = o(1)$.

La classe numéro 3, celle des états tels que $A < \epsilon_q(\omega)$, reconstruit les états de diffusion efimoviens de l'espace libre lorsque $\omega \rightarrow 0$. On dispose pour cette classe d'un développement à grand q ,

$$\frac{\epsilon_q(\omega)}{\hbar\omega} = 2q + \Delta(\epsilon_q(\omega)) + O(1/q) \quad (33)$$

où la fonction de l'énergie $\Delta(\epsilon)$, sans dimension, est donnée par l'équation (C6) de [21]. Dans chaque terme de S_3 , on effectue donc l'approximation $e^{-2qx} \simeq e^{-\beta\epsilon_q}[1 + x\Delta(\epsilon_q)]$, et l'on remplace la somme sur q par une intégrale sur l'énergie, en utilisant la quasi-équidistance des niveaux $\epsilon_{q+1} - \epsilon_q = 2\hbar\omega[1 + O(\hbar\omega/\epsilon_q)]$ [48], si bien que

$$S_3 = -\frac{1}{2} \int_{A\hbar\omega}^{+\infty} d\epsilon e^{-\beta\epsilon} \beta\Delta(\epsilon) + o(1). \quad (34)$$

En regroupant les trois classes et en explicitant $\Delta(\epsilon)$ comme dans [21], on obtient finalement pour $\omega \rightarrow 0$:

$$S(0^+) = \left\{ \sum_{q \geq 0} \left[e^{-\beta\epsilon_q(0^+)} - 1 \right] \right\} + \frac{|s_0|}{\pi} \left\{ \frac{1}{2} \ln(e^\gamma \beta E_t) - \sum_{p \geq 1} e^{-p\pi|s_0|} \operatorname{Re} \left[\Gamma(-ip|s_0|)(\beta E_t)^{ip|s_0|} \right] \right\}, \quad (35)$$

où $\gamma = 0,577215\dots$ est la constante d'Euler, et l'énergie des trimères dans l'espace libre $\epsilon_q(0^+)$ est donnée par (21). Notons que la contribution de ces états liés $\sum_{q \geq 0} e^{-\beta\epsilon_q(0^+)}$ est divergente, et qu'il est donc nécessaire de la regrouper avec celle du continuum pour obtenir le contre-terme -1 assurant la convergence de la somme dans (35); dans le cas du deuxième coefficient du viriel d'un plasma, les états liés (à deux corps cette fois) ont un spectre hydrogénoidé, et il faut le contre-terme plus élaboré $-(1+\beta\epsilon_q)$ pour faire converger la somme [49] [56].

B. Travail sur la contribution universelle $\sigma(\omega)$

Isolons dans la définition (26) de $\sigma(\omega)$ la contribution du moment cinétique l et effectuons la somme sur q , pour obtenir

$$\sigma = \sum_{l \geq 0} \sigma_l, \quad \text{avec } \sigma_l = \frac{l + \frac{1}{2}}{\operatorname{sh} x} \sum_{n \geq \delta_{l,0}} \left(e^{-xu_{l,n}} - e^{-xv_{l,n}} \right). \quad (36)$$

Or la fonction $\Lambda_l(s)$ admet une racine simple [57] en $u_{l,n}$ et un pôle simple [58] en $v_{l,n}$, ce qui fait que sa dérivée logarithmique admet un pôle en ces deux points, avec un résidu égal à $+1$ et -1 , respectivement. Par application inverse du théorème des résidus, on trouve donc pour $l > 0$ que

$$\sigma_l(\omega) \stackrel{l \geq 0}{=} \frac{l + \frac{1}{2}}{\operatorname{sh} x} \int_C \frac{dz}{2i\pi} \frac{\Lambda'_l(z)}{\Lambda_l(z)} e^{-xz} \quad (37)$$

où l'intégrale de chemin est prise sur le contour C venant de $z = +\infty + i\eta$ ($\eta > 0$), longeant l'axe réel par au-dessus, le traversant près de l'origine puis tendant vers $z = +\infty - i\eta$ en longeant l'axe réel par en dessous. Ce contour enserre en effet toutes les racines positives $(u_{l,n})_{n \geq 0}$ et tous les pôles positifs $(v_{l,n})_{n \geq 0}$ de la fonction $\Lambda_l(z)$. Comme $\Lambda_l(z)$ ($l > 0$) n'a pas d'autres racines ou pôles dans le demi-plan $\operatorname{Re} z \geq 0$, on peut déplier C autour de l'origine et le rabattre sur l'axe imaginaire pur $z = iS$:

$$\sigma_l(\omega) \stackrel{l > 0}{=} \frac{l + \frac{1}{2}}{\pi \operatorname{sh} x} \int_0^{+\infty} dS \frac{\Lambda'_l(iS)}{\Lambda_l(iS)} i \sin(xS) \quad (38)$$

où l'imparité de $\Lambda'_l(iS)/\Lambda_l(iS)$ justifie l'omission de la contribution en $\cos(xS)$ et permet de limiter l'intégrale à $S > 0$. Prendre la limite $x \rightarrow 0$ est alors élémentaire,

et une simple intégration par parties conduit au joli résultat :

$$\sigma_l(0^+) \stackrel{l \geq 0}{=} -\frac{2l+1}{2\pi} \int_0^{+\infty} dS \ln \left(\frac{\Lambda_l(iS)}{\cos \nu} \right). \quad (39)$$

D'après la forme (17,18), la fonction $\Lambda_l(iS)/\cos \nu$ tend exponentiellement vers 1 à l'infini, si bien que l'intégrale dans (39) est rapidement convergente.

Le cas $l = 0$ nécessite un petit ajustement du raisonnement précédent. D'une part, le pôle $v_{0,0}$ de la fonction $\Lambda_0(s)$ ne contribue pas à $\sigma(\omega)$, puisque le couple $(l, n) = (0, 0)$ est dans la voie efimovienne. D'autre part, l'existence des zéros efimoviens $\pm i|s_0|$ de $\Lambda_0(s)$ empêche le rabattement du contour C sur l'axe imaginaire pur. Ces deux problèmes sont résolus en considérant la fonction $\frac{s^2 - v_{0,0}^2}{s^2 - s_0^2} \Lambda_0(s)$ plutôt que la fonction $\Lambda_0(s)$ elle-même : le préfacteur rationnel supprime les pôles $\pm v_{0,0}$ et les zéros $\pm s_0$ sans compromettre l'utile invariance par parité. Dans la limite $\omega \rightarrow 0$, ceci conduit à [59]

$$\sigma_0(0^+) = -\frac{1}{2\pi} \int_0^{+\infty} dS \ln \left(\frac{S^2 + 1}{S^2 - |s_0|^2} \frac{\Lambda_0(iS)}{\cos \nu} \right). \quad (40)$$

À partir de l'écriture (17,18) des fonctions $\Lambda_l(s = iS)$, on obtient en quelques minutes, avec les outils d'intégration numérique des logiciels de calcul formel, la valeur du terme constant dans $\Delta B_3(0^+)$:

$$1 + \sigma(0^+) = 1 - 0,364\,037 \dots = 0,635\,962 \dots \quad (41)$$

On constate que $(\sigma_l(0^+))_{l \geq 1}$ forme une suite alternée de module (rapidement) décroissant, l'erreur commise dans une troncature sur l étant donc bornée par la valeur absolue du premier terme négligé. Analytiquement, on peut d'ailleurs obtenir le bel équivalent [60]

$$\sigma_l(0^+) \underset{l \rightarrow \infty}{\sim} \left(\frac{l}{\pi} \right)^{1/2} \frac{(-\tan \frac{\nu}{2})^l}{\cos \frac{\nu}{2} (\cos \nu)^{3/2}}, \quad (42)$$

où ν est l'angle de masse (16).

C. Une évaluation entièrement analytique

L'intéressante propriété de décroissance rapide de $\sigma_l(0^+)$ avec le moment cinétique, à défaut d'explication physique, peut être comprise par le fait que, pour $l > 0$, les écarts à 1 de $\Lambda_l(iS)/\cos \nu$ tendent vers zéro en $-(-\nu)^l$, comme il est apparent sur l'écriture (15) :

$$\delta_l(S) \equiv \frac{\Lambda_l(iS)}{\cos \nu} - 1 \underset{\nu \rightarrow 0}{=} O(\nu^l). \quad (43)$$

Comme $\nu = \pi/6$, on trouve déjà pour $l = 1$ que la valeur maximale de $|\delta_l(S)|$, atteinte en $S = 0$ et $\simeq 0,273$, est petite. Ceci donne l'idée de traiter chaque δ_l (pour $l > 0$) comme un infiniment petit d'ordre l . Le développement en série de $\ln[1 + \delta_l(S)]$ en puissances de δ_l dans (39)

est convergent et génère un développement convergent de $\sigma_l(0^+)$:

$$\sigma_l(0^+) \stackrel{l \geq 0}{=} \sum_{n \geq 1} \sigma_l^{(n)}, \text{ où } \sigma_l^{(n)} = (2l+1) \frac{(-1)^n}{n} \int_{\mathbb{R}} \frac{dS}{4\pi} [\delta_l(S)]^n. \quad (44)$$

L'intégrale correspondante peut être calculée en principe analytiquement par la méthode des résidus, pour $0 < \nu < \pi/2$, qui conduit à des séries exprimables en termes des fonctions de Bose $g_\alpha(z) = \sum_{k \geq 1} z^k/k^\alpha$, encore appelées polylogarithmes, mais ceci devient rapidement fastidieux à grand l ou n . Nous nous limitons donc aux infinitésimement petits d'ordre 3 inclus. Pour $n \leq 2$, il est en fait plus simple de calculer directement la somme sur tous les $l \geq 1$ de $\sigma_l^{(n)}$, notée $\sigma_{1:\infty}^{(n)}$. Nous retenons finalement

$$\sigma(0^+) \approx \sigma_0(0^+) + \sigma_{1:\infty}^{(1)} + \sigma_{1:\infty}^{(2)} + \sigma_1^{(3)}. \quad (45)$$

Les deuxième et troisième termes de l'approximation (45) peuvent être exprimés simplement pour ν quelconque [61] :

$$\sigma_{1:\infty}^{(1)} = \frac{1}{\pi \cos \nu (1 + \sin \nu)} - \frac{\operatorname{argth}(\sin \nu)}{\pi \cos \nu \sin \nu} \quad (46)$$

$$\sigma_{1:\infty}^{(2)} = \frac{2\nu}{\pi^2 \sin \nu \cos^3 \nu} - \frac{4[\frac{7}{8}\zeta(3) - \operatorname{Re} C_3 - \nu \operatorname{Im} C_2]}{(\pi \sin \nu \cos \nu)^2} \quad (47)$$

avec ζ la fonction de Riemann et $C_\alpha = g_\alpha(e^{2i\nu}) - \frac{1}{2^\alpha} g_\alpha(e^{4i\nu})$. Pour $\nu = \pi/6$, on a plus simplement $\operatorname{Re} C_3 = \frac{7}{18}\zeta(3)$ et $\operatorname{Im} C_2 = \frac{\sqrt{3}}{72}[\psi'(\frac{1}{6}) - \psi'(\frac{5}{6})]$, où ψ est la fonction digamma et ψ' sa dérivée première. Par concision, nous donnons la valeur du dernier terme de (45) seulement pour $\nu = \pi/6$:

$$\begin{aligned} \sigma_1^{(3)} &= \frac{64}{\pi^3 \sqrt{3}} \left(\frac{17D_3}{432} - \frac{14\zeta(3)}{3} - \frac{403\zeta(5)}{27} + 2 \right) \\ &\quad + \frac{16}{9\pi^2} \left(\frac{17D_3}{54} + 5D_1 - \frac{322\zeta(3)}{3} - 36 \right) \\ &\quad + \frac{32}{3\pi\sqrt{3}} \left(\frac{5D_1}{9} - \frac{112\zeta(3)}{27} + \frac{8}{3} - 2\ln 3 \right), \end{aligned} \quad (48)$$

avec $D_k = \psi^{(k)}(\frac{1}{3}) - \psi^{(k)}(\frac{2}{3})$, $\psi^{(k)}$ étant la dérivée $k^{\text{ème}}$ de la fonction digamma, voir relation 8.363(8) de la référence [50].

Il reste à approcher analytiquement le premier terme de (45), soit la contribution universelle à moment cinétique nul $\sigma_0(0^+)$ donnée par (40). Comme le développement en série du logarithme autour de 1 est inadapté à ce cas, on effectue un développement direct au second ordre en puissances de l'angle de masse [62] : d'après (17),

$$\frac{\Lambda_0(iS)}{\cos \nu} = 1 - \frac{2}{\operatorname{ch}(S\pi/2)} - \frac{4}{3}\nu^2 \frac{1 + S^2/4}{\operatorname{ch}(S\pi/2)} + O(\nu^4). \quad (49)$$

Ceci permet d'abord d'approcher la racine efimovienne

$$|s_0| = \theta + \frac{8\nu^2}{3\pi\sqrt{3}}(1 + \theta^2/4) + O(\nu^4) \quad (50)$$

où $\theta = \frac{2}{\pi} \operatorname{argch} 2 = 0,838\,401\dots$, d'une façon qui reproduit (pour $\nu = \pi/6$) sa valeur exacte (19) à un pour mille près. Ensuite, après quelques applications du théorème des résidus, on obtient l'approximation désirée jusqu'à l'ordre 3 inclus :

$$\sigma_0(0^+) \simeq -\frac{1+\theta^2}{8} - \frac{2\nu^2}{9\pi\sqrt{3}} \theta(1+\theta^2/4). \quad (51)$$

Pour $\nu = \pi/6$, notre approximation analytique (45) conduit alors à

$$1 + \sigma(0^+) \simeq 1 - 0,364\,613\dots = 0,635\,386\dots \quad (52)$$

qui reproduit la valeur exacte (41) à un pour mille près. Cette précision semble en pratique bien suffisante, compte tenu de l'incertitude actuelle des mesures de l'équation d'état des gaz atomiques froids [5–7] et du fait que b_3 est le coefficient d'un terme qui doit rester petit dans un développement à basse densité.

IV. CONCLUSION

Nous avons montré qu'il est possible de déterminer de façon entièrement analytique le troisième cumulant b_3 du gaz de Bose unitaire spatialement homogène, de paramètre à trois corps R_t et de longueur d'onde thermique de de Broglie λ , en ce sens que le résultat [63]

$$b_3 = 3\sqrt{3}[S(0^+) + C] \quad \text{avec } C = 0,648\dots \quad (53)$$

est somme d'une fonction $S(0^+)$ de λ/R_t donnée exactement par l'équation (35), et d'une constante C dont une originale représentation intégrale, non contente d'en trivialiser l'évaluation numérique, autorise le développement perturbatif à un ordre arbitraire, poussé ici jusqu'à trois, avec l'angle de masse $\nu = \pi/6$ comme petit paramètre. Ceci donne accès au troisième coefficient du viriel a_3 du gaz de Bose unitaire, par combinaison des relations (3) et (12).

Comme le montre la figure, notre résultat a physiquement l'intérêt de couvrir la transition entre deux régimes extrêmes, celui de basse température, $k_B T \ll E_t$, où b_3 est dominé par la contribution du trimère fondamental d'énergie $-E_t$:

$$b_3 \simeq 3\sqrt{3} e^{\beta E_t}, \quad (54)$$

avec $E_t \propto \hbar^2/(mR_t^2)$, et le régime $k_B T \gg E_t$, où les trimères sont presque complètement dissociés :

$$b_3 \simeq 3\sqrt{3} \frac{|s_0|}{2\pi} \ln(e^{\gamma+2\pi C/|s_0|} \beta E_t). \quad (55)$$

L'approximation exponentielle (54) est en accord avec l'expression (193) de la référence [31], déduite très simplement de la condition d'équilibre chimique du gaz.

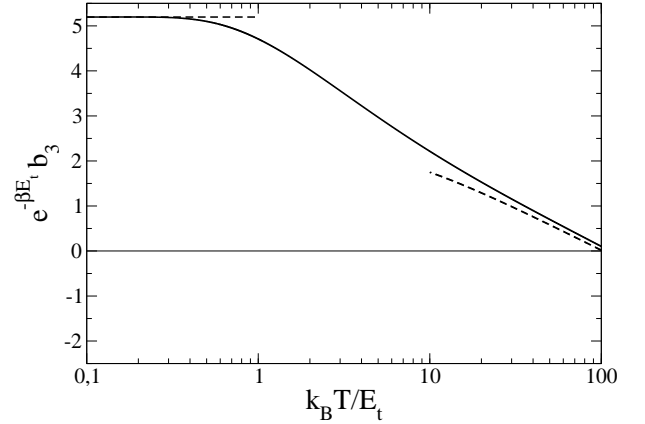


FIGURE 1: Troisième cumulant b_3 du gaz de Bose unitaire spatialement homogène : b_3 est multiplié par $e^{-\beta E_t}$ puis représenté en fonction de la température T par un trait continu. Les lignes tiretées à gauche et à droite correspondent respectivement aux approximations (54) et (55), multipliées elles aussi par $e^{-\beta E_t}$. ($-E_t$) est l'énergie du trimère (efimovien) fondamental, et $\beta = 1/(k_B T)$.

L'approximation logarithmique (55) peut, elle aussi, à un facteur constant près à l'intérieur du logarithme, être déduite d'un calcul complètement différent du nôtre, celui du coefficient de perte à trois corps L_3 déduit de la diffusion inélastique de trois bosons dans l'espace libre [19], en le combinant à l'équation (25) de [21] qui relie, par des arguments généraux, $\partial b_3/\partial(\ln R_t)$ à L_3 dans la limite de faible inélasticité de cette diffusion.

En pratique, dans le régime de température où l'approximation logarithmique (55) reproduit bien nos valeurs de b_3 , il sera certainement difficile d'assurer que la limite unitaire est atteinte, c'est-à-dire que les effets de portée (réelle ou effective) du potentiel d'interaction sont négligeables. En particulier, il n'est pas garanti que le changement de signe de b_3 à haute température, prédit par la théorie efimovienne de portée nulle utilisée ici [64], puisse être observé sur un modèle plus réaliste comme ceux des références [28, 44–46], ou dans une expérience d'atomes froids. La réponse à cette question nécessite l'étude d'un modèle spécifique d'interaction, et doit donc être réservée à un travail ultérieur.

Remerciements

Ce travail a été effectué dans le cadre du projet FERLODIM financé par le Conseil Européen de la Recherche. Nous remercions nos collègues de l'équipe des fermions froids du LKB, en particulier Nir Navon, ainsi que Xavier Leyronas du LPS, pour d'utiles discussion sur le gaz de Bose unitaire et les coefficients du viriel.

-
- [1] J.M. Vogels *et al.*, Phys. Rev. A **56**, R1067 (1997).
- [2] C. Chin, R. Grimm, P. Julienne, E. Tiesinga, Rev. Mod. Phys. **82**, 1225 (2010).
- [3] K.M. O'Hara *et al.*, Science **298**, 2179 (2002) ; T. Bourdel *et al.*, Phys. Rev. Lett. **91**, 020402 (2003) ;
- [4] *The BCS-BEC Crossover and the Unitary Fermi Gas*, LNIP 836, édité par W. Zwerger (Springer, Berlin, 2012).
- [5] S. Nascimbène *et al.*, Nature **463**, 1057 (2010).
- [6] N. Navon, S. Nascimbène, F. Chevy, C. Salomon, Science **328**, 729 (2010).
- [7] Mark J.H. Ku, A.T. Sommer, L.W. Cheuk, M.W. Zwierlein, Science **335**, 563 (2012).
- [8] M. M. Forbes, S. Gandolfi, A. Gezerlis, Phys. Rev. Lett. **106**, 235303 (2011).
- [9] E. Burovski, N. Prokof'ev, B. Svistunov, M. Troyer, Phys. Rev. Lett. **96**, 160402 (2006).
- [10] O. Goulko, M. Wingate, Phys. Rev. A **82**, 053621 (2010).
- [11] K. Van Houcke *et al.*, Nature Phys. **8**, 366 (2012).
- [12] S. Jonsell, H. Heiselberg, C.J. Pethick, Phys. Rev. Lett. **89**, 250401 (2002).
- [13] Xia-Ji Liu, Hui Hu, P. D. Drummond, Phys. Rev. Lett. **102**, 160401 (2009) ; Phys. Rev. A **82**, 023619 (2010).
- [14] F. Werner, Y. Castin, Phys. Rev. Lett. **97**, 150401 (2006).
- [15] X. Leyronas, Phys. Rev. A **84**, 053633 (2011).
- [16] D. Rakshit, K. M. Daily, D. Blume, Phys. Rev. A **85**, 033634 (2012).
- [17] V. Efimov, Sov. J. Nucl. Phys. **12**, 589 (1971).
- [18] F. Ferlaino, A. Zenesini, M. Berninger, B. Huang, H.-C. Ngerl, R. Grim, Few-Body Syst. **51**, 113 (2011).
- [19] B. S. Rem *et al.*, <http://hal.archives-ouvertes.fr/hal-00768088>.
- [20] J. P. D'Incao, H. Suno, B. D. Esry, Phys. Rev. Lett. **93**, 123201 (2004).
- [21] F. Werner, Y. Castin, Phys. Rev. A **86**, 053633 (2012).
- [22] A. J. Daley *et al.*, Phys. Rev. Lett. **102**, 040402 (2009).
- [23] J. Levinsen, T.G. Tiecke, J.T.M. Walraven, D.S. Petrov, Phys. Rev. Lett. **103**, 153202 (2009).
- [24] Yujun Wang, J. P. D'Incao, B.D. Esry, Phys. Rev. A **83**, 042710 (2011).
- [25] S. Cowell *et al.*, Phys. Rev. Lett. **88**, 210403 (2002).
- [26] J. M. Diederix, T. C. F. van Heijst, H. T. C. Stoof, Phys. Rev. A **84**, 033618 (2011).
- [27] Weiran Li, Tin-Lun Ho, Phys. Rev. Lett. **108**, 195301 (2012).
- [28] J. von Stecher, J. Phys. B **43**, 101002 (2010).
- [29] E. Beth, G.E. Uhlenbeck, Physica III 8, 729 (1936) ; Physica IV 10, 915 (1937).
- [30] K. Huang, in *Statistical Mechanics*, p. 427 (Wiley, New York, 1963).
- [31] A. Pais, G.E. Uhlenbeck, Phys. Rev. **116**, 250 (1959).
- [32] W.G. Gibson, Phys. Letters **21**, 619 (1966) ; A.S. Reiner, Phys. Rev. **151**, 170 (1966).
- [33] R. Dashen, Shang-keng Ma, H.J. Bernstein, Phys. Rev. **187**, 345 (1969) ; S. Servadio, Il Nuovo Cimento **102**, 1 (1988).
- [34] A. Royer, J. Math. Phys. **24**, 897 (1983).
- [35] P. Grüter, F. Laloë, J. Physique I **5**, 181 (1995).
- [36] P.F. Bedaque, G. Rupak, Phys. Rev. B **67**, 174513 (2003).
- [37] A. Comtet, Y. Georgelin, S. Ouvry, J. Phys. A **22**, 3917 (1989).
- [38] J. McCabe, S. Ouvry, Phys. Lett. B **260**, 113 (1990).
- [39] J. Law, Akira Suzuki, R.K. Bhaduri, Phys. Rev. A **46**, 4693 (1992).
- [40] T. Busch, B.G. Englert, K. Rzazewski, M. Wilkens, Found. Phys. **28**, 549 (1998).
- [41] F. Werner, Y. Castin, Phys. Rev. A **74**, 053604 (2006).
- [42] G. Gasaneo, J.H. Macek, J. Phys. B **35**, 2239 (2002) ; M. Birse, J. Phys. A **39**, L49 (2006).
- [43] Y. Castin, E. Tignone, Phys. Rev. A **84**, 062704 (2011).
- [44] D.S. Petrov, Phys. Rev. Lett. **93**, 143201 (2004).
- [45] A.O. Gogolin, C. Mora, R. Egger, Phys. Rev. Lett. **100**, 140404 (2008).
- [46] L. Pricoupenko, Phys. Rev. A **82**, 043633 (2010).
- [47] R. Schmidt, S.P. Rath, W. Zwerger, Eur. Phys. J. B **85**, 386 (2012).
- [48] F. Werner, thèse de doctorat, Université Paris 6 (2008), <http://tel.archives-ouvertes.fr/tel-00285587>
- [49] A.I. Larkin, Sov. Phys. JETP **11**, 1363 (1960).
- [50] I.S. Gradshteyn, I. M. Ryzhik, in *Tables of Integrals, Series, and Products*, 5ème édition, édité par A. Jeffrey (Academic Press, San Diego, 1994).
- [51] Ceci est vrai à un facteur sans dimension près fonction périodique de $\ln(R_t/\lambda)$ [19, 21], où R_t est le paramètre à trois corps.
- [52] En effet, les états non laughliniens du gaz parfait sont la limite pour $a \rightarrow 0^-$ des états non laughliniens du cas avec interaction, pour lesquels un ansatz de type Faddeev sur la fonction d'onde est justifié, $\psi(\mathbf{r}_1, \mathbf{r}_2, \mathbf{r}_3) = (1 + P_{13} + P_{23})\mathcal{F}(r, \rho, \mathbf{C})$, où P_{ij} transpose les particules i et j , $\mathbf{r} = \mathbf{r}_2 - \mathbf{r}_1$, $\rho = (2\mathbf{r}_3 - \mathbf{r}_1 - \mathbf{r}_2)/\sqrt{3}$ et $\mathbf{C} = (\mathbf{r}_1 + \mathbf{r}_2 + \mathbf{r}_3)/3$. Ceci se voit en intégrant formellement l'équation de Schrödinger pour une interaction en δ régularisée, en termes de la fonction de Green du Hamiltonien à trois corps sans interaction.
- [53] Si $a = 0$, on impose que la fonction d'onde ψ ne diverge pas en $1/r$ lorsque $\mathbf{r} = \mathbf{r}_2 - \mathbf{r}_1 \rightarrow 0$. Si $1/a = 0$, on impose que ψ n'a pas de terme en r^0 dans le développement en puissances de r (à $\mathbf{r}_1 + \mathbf{r}_2$ et \mathbf{r}_3 fixés). Lorsque $\psi \equiv 0$, les deux contraintes sont satisfaites simultanément, auquel cas $u^{(0)}$ et u coïncident.
- [54] Cette équation (17) pour $l < 2$ contient d'ailleurs une erreur, induite par une mauvaise numérotation des racines non physiques.
- [55] En effet, la dérivée par rapport à $\epsilon_q/(\hbar\omega)$ du membre de gauche de l'équation (20) est uniformément bornée, d'après la relation 8.362(1) de la référence [50].
- [56] Le changement de R_t en $\tilde{R}_t = e^{-\pi/|s_0|}R_t$, d'après (20), a comme seul effet sur le spectre efimovien de rajouter un état " $q = -1$ ", si bien que $\tilde{S}(0^+) = \exp(\beta E_t e^{2\pi/|s_0|}) + S(0^+)$. Cette propriété fonctionnelle détermine $S(0^+)$ [et reproduit donc les deux premières contributions de (35)] à une fonction inconnue additive près de $\ln(\beta E_t)$ de période $2\pi/|s_0|$.
- [57] Pour démontrer par l'absurde l'absence de racine multiple, il faut rappeler que la partie hyperangulaire de l'ansatz d'Efimov est $\Phi(\Omega) = (1 + P_{13} + P_{23}) \frac{\varphi(\alpha)}{\sin 2\alpha} Y_l^{m_l}(\rho/\rho)$, où l'on a ajouté aux notations de la note [52] la variable $\alpha = \text{atan}(r/\rho)$, l'harmonique sphérique $Y_l^{m_l}$, l'ensemble Ω des cinq hyperangles et une fonction $\varphi(\alpha)$ s'annulant en $\pi/2$. L'équation de Schrödinger impose alors $(4 - s^2 - \Delta_\Omega)\Phi = 0$, où Δ_Ω est le laplacien sur l'hypersphère,

donc $-\varphi'' + \frac{l(l+1)}{\cos^2 \alpha} \varphi = s^2 \varphi$. Les conditions au contact de Wigner-Bethe-Peierls pour $1/a = 0$ imposent de plus la condition aux limites $\varphi'(0) + \frac{4(-1)^l}{\cos \nu} \varphi(\frac{\pi}{2} - \nu) = 0$, qui est essentiellement l'équation transcendante $\Lambda_l(s) = 0$ [voir la note [58]]. Si $s > 0$ en est une racine double, $\psi(\alpha) = \partial_{s^2} \varphi(\alpha)$ obéit aux mêmes conditions aux limites que $\varphi(\alpha)$, avec $-\psi'' + \frac{l(l+1)}{\cos^2 \alpha} \psi = s^2 \psi + \varphi$. Alors $\Psi(\Omega) \equiv (1 + P_{13} + P_{23}) \frac{\psi(\alpha)}{\sin 2\alpha} Y_l^{m_l}(\rho/\rho)$ obéit aux conditions au contact de Wigner-Bethe-Peierls pour $1/a = 0$, et à l'équation inhomogène $(4 - s^2 - \Delta_\Omega)\Psi = \Phi$, dont le produit scalaire à gauche avec Φ conduit à l'absurdité $0 = \int d^5\Omega |\Phi(\Omega)|^2$, par hermiticité du laplacien à conditions au contact fixées.

- [58] Pour des valeurs particulières de ν autres que $\pi/6$, par exemple $\nu = \pi/5$, la fonction ${}_2F_1$ dans (15) s'annule en $s = v_{l,n}$, auquel cas $v_{l,n}$ n'est pas un pôle de $\Lambda_l(s)$. Cependant, la véritable forme de l'équation transcendante sur s , donnée dans la note [57] et dont les $u_{l,n}$ doivent être solution, est $\Lambda_l(s)/[\Gamma(\frac{l+1+s}{2})\Gamma(\frac{l+1-s}{2})] = 0$; on a alors une racine parfaitement acceptable $u_{l,n} = v_{l,n}$, qui n'est cependant pas racine de $\Lambda_l(s)$ et qui a donc été "oubliée" par la forme (15). Comme ces racines et pôles "fantômes" de $\Lambda_l(s)$ sont confondus, ils ne contribuent pas à $\sigma_l(\omega)$.
- [59] Une variante de cette intégrale apparaît dans l'équation (87) de [43], ce qui établit un lien inattendu entre b_3 et la valeur de R_t/R_* sur une résonance étroite (de longueur de Feshbach R_*).
- [60] Dans (15), on explicite ${}_2F_1$ par l'habituelle série, disons

sur $k \in \mathbb{N}$, voir la relation 9.100 de la référence [50]. On prend la limite $l \rightarrow +\infty$ à $y \equiv k/l$ et $\tau \equiv S/l^{1/2}$ fixés, on approxime chaque terme par son équivalent de Stirling, et l'on remplace la somme sur k par une intégrale sur y . L'intégrand obtenu contient un facteur $e^{lu(y)}$, où $u(y) = 2(y + \frac{1}{2}) \ln(y + \frac{1}{2}) - (y + 1) \ln(y + 1) - y \ln y + 2y \ln(\sin \nu)$, ce qui permet de faire usage de la méthode de Laplace et conduit à $\delta_l(S) \sim \frac{(-1)^{l+1} 2^{1/2}}{l \cos \nu \cos \frac{\nu}{2}} (\tan \frac{\nu}{2})^l \exp(-\frac{1}{2}\tau^2 \cos \nu)$ [quantité définie dans (43)], dont le report dans (39) donne (42).

- [61] Ceci résulte entre autres de l'équation (35) de [43] adaptée au cas bosonique. Dans (46), elle a permis d'exprimer $\sigma_l^{(1)}$ en termes de la fonction de Legendre associée $Q_l(X)$, à écrire sous la forme 8.821(3) de [50] pour pouvoir sommer sur l . Dans (47), on l'a combinée à l'identité de Parseval-Plancherel (pour intégrer sur S) et au fait que les polynômes $(l + \frac{1}{2})^{1/2} P_l(X)$ forment une base orthonormale de l'espace des fonctions $L_2([-1, 1])$ (pour sommer sur l).
- [62] ce qui est justifié même sous le signe somme, puisque l'intégrale sur S dans (40) converge sur une distance d'ordre unité.
- [63] En effet, $C = 1 + \sigma(0^+) + B_3^{(0)}(0^+)$, voir (7), (29), (30) et (41).
- [64] À partir de l'expression complète (53), on trouve que $b_3 = 0$ pour $k_B T/E_t \simeq 112, 56$.